

LIX, № 2 1974

Խմբագրական կոլեգիա

է. Գ. ԱՖՐԻԿՅԱՆ, կենսաբանական գիտութլուհների դսկտու, Ա. Թ. ԲԱՐՈԼՅԱՆ.
ՀՍՍՀ ԳԱ ակադեմիկոս, Ա. Ա. ԲԱՀԱԼՅԱՆ, ՀՍՍՀ ԳԱ թղթակից-անդամ,
Վ. Հ. ՀԱՄԲԱՐՉՈՒՄՅԱՆ, ակադեմիկոս, Վ. Հ.
ՎԱԶԱՐՅԱՆ, ՀՍՍՀ ԳԱ թոթակից-անդամ
աստ խմրագրի տեղակալ), Մ. ՄԻՐՋՈ
ԱՆ, ՀՍՍՀ ԳԱ ակադեմիկոս (պատԽԱՐՏՉՅԱՆ), ՀՍՍՀ ԳԱ ակադեմիկոս (պատխմրագիր), Օ. Մ. ՍԱՊՈՆՋՅԱՆ, ՀՍՍՀ ԳԱ
թղթակից-անդամ, Ս. Չ.
ՀՍՍՀ ԳԱ ակադեմիկոս (պատխմրագիր), Օ. Մ. ՍԱՊՈՆՋՅԱՆ, ՀՍՍՀ ԳԱ
թղթակից-անդամ, Ս. Լ. ՏԵՐ-ՄԻՐԱՅԵԼՅԱՆ.

Редакционная коллегия

В. А АМБАРЦУМЯН, академик. Э. Г. АФРИКЯН, доктор CHOROFNACCERE наук, А. Т. БАБАЯН, академик АН АрмССР, В. О. КАЗАРЯН, чл.-корр. АН АрмССР (зам. отв. редактора), С. А. чл.-корр. АН АриССР, мирзоян, С С. МКРТЧЯН академик АН АрмССР. А Г. НАЗАРОВ академик АН АриССР (отв. редактор), О. М. САПОНДЖЯН, чл-корр. АН АрмССР, А. А. ТАЛА-ЛЯН, чл.-корр. АН АрмССР, В. М. ТАРАЯН, чл.-корр. АН АрмССР, М. Л. ТЕР-МИКЛЕЛЯН, чл.-корр. АН Арм CCP

ՀԱՏԿԱԿԱՆ ԱԱՀ ԳԻՑՈՒԹՅՈՒՆՆԵՐԻ ԱԿԱԿԵՄԻԱ Ի ՀԻԱՏԱՐԱԿՉՈՒԹՅՈՒՆ

የበዺԱՆԴԱԿበՒԹՑՈՒՆ

UUPHUUSh4U

Ռ. Ս. Գալոյան— որ (ՀՀՀ) Հունկցիայի ասիմպտոտական հատկությունների մա.	72
-/b	65
ՄԵԽԱՆԻԿԱ	
Գ. Ե. Բաղդասաբյան <i>—Հաղորդիչ սալի կայունությունը մագնիս<mark>ական</mark> դաշտում</i>	
Հազորգիչ գազի Հոսանքով չրջՀոսվելիս	72
3h9h4iL	
Դ. Մ. Ավազյանց, Ա. Ն. Աղավյան, Ս. Ա. Թառումյան— <i>Ցածր (Ներգիայով «ժտված</i>	
ելեկտրոնների ազդեցությունը ցինկով կոմպենսացված սիլիցիումային Տ-դիոդեերի	
երալիաժջրև գևտ	78
Դեղ ա իջիկ և	
8. Գ. Հակոբյան, է. Ա. Հախվեբդյան, Վ. Վ. Նաճապետյան, Ցու. Պ. Սկովոբողկին—	
Սրկրաչարժերը կանխագույակելու նպատակով երկրաֆիզիկական տեղական դա չտերի	
վոփոխությունների առանձնանատկությունների ուսումնասիրումը Հայկական ՍՍՀ սեյս-	0.0
մոտկտիվ չրջաններում	84
ենրկայացված լիսավենտներում, կարբոնատային և հրարխածին կալցիտ պարունակող	
ապարեծրում առաձգական ալիքների տարածման արացությունը և խտու <mark>թյ</mark> ունը մինչև	
¹⁰ կթ ճնչման պալմաններում	89
ՐԻՆՐԵՎՈՒԹԱՐԱՆՈՒԹՅՈՒՆ	
Ա. Մ. Միսիթաբյան, Ա. Ո. Ոաճակյան— Տուրրուլենտ բերմափոխանակության հաշ-	
վումը Հայկական ՍՍՀ տարածքի համար	97
«ԱՑՏԱՆՅՈՒԹԱԳԻՏՈՒԹՑՈՒՆ	
Գ. Ա. Արզումանյան—Մի թանի ծառատեսակների բնափայտի մակերեսների վրա	
ականեխիլների գրային լուծույթների պահումը	1.04
paneparau	
Հ. Խ Բունյարյան, Կ. Գ. Վաբազյոգյան, Վ. Ք. Եղյան, Հ. Մ. Ամիբիանյան, Գ. Ա.	
Սութչյան, է, Թ Ամիբխանյան, Գ. Ե. Հակոբյան—Ֆոսֆոլիպիդային, ածխաջրատ-ազո-	
ային դեպանակության մի բանի կողմերի անգալարժերը յան զվտադեղում ալոքոտ-	110
Ժ. Ս. Գեվուգյան, Ա. Ս. Հովճաննիսյան <i>— Երիկամային հյուսվածրում ամինաքվու-</i>	
չերի դեաժինացման պրոցեսների կանոնավորման հարցի յուրջը	116
արթությանը	
II. Ա. Արբամյան, Ա. Շ. Գալստյան—Հոշի կենսարիմիական ուսամեասիրության.	
Ներում բուֆ բային լուծույթների կիրառման մասին	118
Գ. Ս. Դավբյան, Թ. Թ. Վաւդանյան— <i>Մթեոլորտային տեզումների ընդհանուր հան-</i>	191
րայնացման փոփոխություններն ըստ Հայկական ՍՍՀ թնական դոտիների .	122
บางสรายความสมาราชาวิทยาลายาลายาลายาลายาลายาลายาลายาลายาลายาล	
Դ. Ռ. Կասպառյան—Հեծյալենըի Sc mbus illing տետե (Hymenopiera, lelineu-	9.00
manidae) bar whamily Laguranably	120

СОДЕРЖАНИЕ

математика	Стр
Р С Галоян-Об аспыптотических свойствах функции	657
механика	
Г Е Боедосирян—Устойчивость проводящей пластинки в потоке проводя- щего газа при наличии магнитного поля .	72
ФИЗИКА	
Г. М Авакьянц. З Н Адамян, С А Тарумян—Действие электронов низких энергий на характеристики S-диодов из кремиия, компенсированного цинком	78
ГЕОФИЗИКА	
Ц Г. Аколян, Л А Ахверови, В В Нагалетян, Ю П. Сковородкин—Несле- дование особенностей лохального изменения геофизических полей сейсмовитив- ных районов Армянской ССР с целью поисков предвестников землетрясекий А И Левыкин, А В Арутюнян—Скорости упругих воли и плотность в кар- бонатных и изверженных кальцитсодержащих горных пород и лиственитах офи- олитовых комплексов Армении при давлениях до 20 кб	64
метеорология	
А М Ихитирин. А. Є Спакин-Определение турбулентици теплообмена	
на территории Армянской ССР	97
древесиноведение	
Г. А. Арауманян Удержания водных растворов антисептиков поверхностями превесии искоторых пород	104
BUOXHMUR	
Г X Бунятян К Г Карагенян, В. Б Егин, О М Амарханян, Г А Туршан, Л Т. Амирханян, Г. Е Аколян—Сдвиги некоторых старан фосфолипидного и углеводно-взотистого обмена в монге собаки при алдоховинаюм диабете.	110
ж С Геворкин. А. С Оганесин-К вопросу регуляции процессов девынипровыния выния выник процессов девынипро-	116
АГРОХИМИЯ	
С 1, Абримян, А Ш Голстян—О применении буферных растворов и биохи- мических исследованиях почв	118
ЭНТОМОЛОГИЯ	
ДР Каспарин—Hobian вид наездников рода Scambus Hartig (Hymenoptera lehneuptonidae) из урмунии -	126

CONTENTS

MATHEMATICS R. S. (inloyan — On the asymptotic properties of the function $\pi_p(z;z_k)$	65
MECHANICS G. E. Bagdasarian — The stability of a conducting plate in the flow of conducting gas in the presence of a magnetic field • • • • • • • • • • • • • • • • • • •	72
PHYSICS G. M. Avakiants', Z. N. Adamian. S. A. Tarumian — In fluence of low — — energy electrons on S-diode characteristics for zinc — doped silicon semiconductors ductors	78
GEOPHYSICS Ts. G. Akopian L. A. Akhverdian, V. V. Nahapetian, Y. P. Skovorodkin The investigation of peculiarities of the local changes of the geophysical field of setsmoactive regions in Armenia for the purpose of finding ways to forecast Earthquakes • • • • • • • • • • • • • • • • • • •	84
A. I. Levikin, A. V. Harutunian — The velocities of elastic waves and the density in carbonaceous and igneous calcite containing rocks and listventies it ophiolite complexes of Armenia under pressures up to 20 kb • • • Meleorology	ну
A. M. Mkhitarian, A. S. Sahakian — Determination of turbulent heat exchange on the territory of Armenia	97
WOOD MATERIAL G. II. Arzumanian Anti septic water solution by the wood surface of some species	194
BIOCHEMISTRY H. Ch. Buniatlan, C. U. Karageosian, V. B. Egian, H. M. Amirkhanian.	
drate and nitrogen metabolism in alloxan diabeting doy arain • • • • • J. S. Gevorkian, A. S. Oganessian, — On the regulation of deamination	110
processes of amino acids in renal tissue • • • • • • • • • • • • • • • • • • •	116
AGROCHEMISTRY S. A. Abrumian, A. Sh. Galstian — Application of standard buffers in bio	
Themical investigations of soil	118
ENTOMOLOGY	122
D. It Kasparton - New species of Ichneumontds of the genus Seambus Hartig (Hymenoptera, Ichneumontdae) from Armenia	126

Технический редактор Л А АЗИЗБЕКЯН

ВФ 10549 Подлисано в печвти 18 XII.1974 г. Тираж 515, Пад 1175 Зака (20) Ф рмат бумаги 70 × 108¹/14. Печ. л. 4,0. Бум. л. 2,0 эсл. пец. д. 5,6. Уч. пед апстра чеч. LIX 1974

УДК 517.53

МАТЕМАТИКА

Р. С. Галоян

Об асимптотических свойствах функции $\pi_p(z; z_k)$

(Представлено академиком АН Армянской ССР М. М. Джрбашяном 22/V 1974)

10. После ставших уже классическими результатов P. Неванлинны о факторизации мероморфных в круге |z| < 1 функций F(z) с ограниченной характеристикой T(r,F) (1), в ранних работах M. M. Джрбашяна (1) рассматривались вопросы канонического представления функций более широких классов.

На этом пути им был открыт новый класс функций $\pi_a(z;z_k)$ (О $z < \infty$), аналитических в круге |z| < 1, с нулями в точках пронзвольной последовательности удовлетворяющих условию

$$\sum_{k=1}^{\infty} (1 - |z_k|)^{1+\alpha} < +\infty \quad (0 < \alpha < +\infty). \tag{1}$$

Функции эти при условии (1) определялись следующим образом:

$$\pi_{a}(z;z_{k}) = \prod_{k=1}^{n} (1 - \frac{z}{z_{k}}) \exp\{-U_{a}(z;z_{k})\}, \qquad (2)$$

где:

$$U_{\alpha}(z;z) = \int_{z_{\mu}}^{1} \frac{(1-t)^{n+1}}{t} dt - \sum_{n=1}^{\infty} \frac{\Gamma(2+\alpha+n)}{\Gamma(2+\alpha)\Gamma(1+n)} \left(\frac{z}{z}\right)^{n} \int_{0}^{|z|} (1-t)^{\alpha+1} t^{n-1} dt.$$

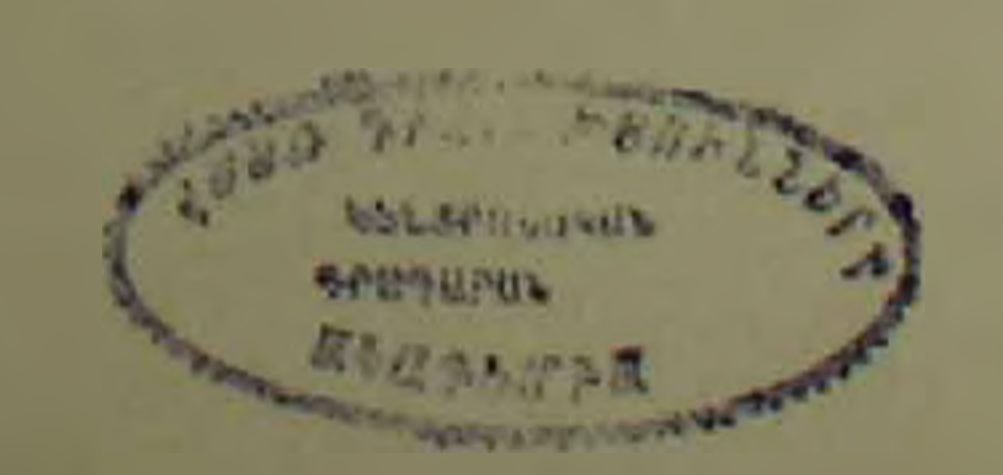
Было установлено (2), что при любом целом $^{2}=p\gg 1$ функция имеет такую же структуру, что и бесконечное произведение Вейер-штрасса, а именно:

$$\pi_p(z;z_k) = \prod_{k=1}^{\infty} \left(1 - \frac{1 - |z_k|^2}{1 - zz_k} \right) \exp\left\{ \sum_{n=1}^{p} \frac{1}{n} \left(\frac{1 - |z_k|^2}{1 - zz_k} \right)^n \right\}, \tag{3}$$

а при 2=0

$$\pi_0(z;z_k) = \prod_{k=1}^{|z_k|} \overline{z_k} = \left(\prod_{k=1}^{|z_k|} |z_k|\right) \cdot B(z;z_k). \tag{4}$$

где $B(z;z_k)$ — функция Бляшке,



В предположении, что последовательность нулей $|z_k|^2$ имеет лишь одну предельную точку на окружности |z|=1, мы будем исследовать асимптотические свойства функций типа $\pi_p(z;z_k)$ ($p \ge 0$) в окрестности той же граничной точки. В общих чертах следуя известному методу исследования асимптотических свойств целых функций (1)(3) в данной статье устанавливаются точные асимтотические формулы для $\pi_p(z;z_k)$ при довольно общих предположениях о плотности распределения нулей $\{z_k\}_1^2$.

Отметим, что функцию $m_p(z) = 1$, мы будем рассматривать в единичном круге, разрезаниом вдоль отрезков, соединяющих все нули функции $\pi_p(z;z_k)$ с точкой z = 1.

2°. Обозначая

$$A_{p}(z;z_{k}) = \left(1 - \frac{1 - |z_{k}|^{2}}{1 - zz_{k}}\right) \exp\left\{\sum_{n=1}^{p} \frac{1}{n} \left(\frac{1 - |z_{k}|^{2}}{1 - zz_{k}}\right)^{n}\right\}$$
(5)

из (3) получим

$$\pi_p(z;z_k) = \prod_{k=1}^n A_p(z;z_k) \tag{6}$$

Пусть последовательность $|z_k|_1^*(|z_k| < 1, k = 1, 2, ..., \lim_{k \to \infty} z_k = 1)$ расположена на одном луче, я именно $z_k = 1 - r_k e^{-it}$, причем

$$0 < r_{k+1} \le r_k < 2\cos \phi, \quad |\psi| < \frac{\pi}{2} - \eta \quad (\eta > 0).$$
 (7)

Для любого $t(0 < t < 2\cos \psi)$ обозначим через n(t) число точек $z_k = 1 - r_k e^{-i\phi}$, для которых $t < r_k < 2\cos \psi$.

Приведем без доказательства две леммы.

Лемма 1. Пусть при некотором
$$\rho н $c > 0$ $n(t) < c \cdot t^{-p} \ (0 < t < 2\cos\psi)$. (8)$$

Пусть далее $z = 1 - re^{-re} (z = z + |\varphi| < \frac{\pi}{2}, |\psi| < \frac{\pi}{2}), \ z \in (0; \frac{1}{2})$ и

$$h_{\sigma}(z) = \prod_{0 < r_{h} < \sigma r} A_{n}(z; z_{h}).$$
 (9)

Тогда при $0 < r < \min\{1, 2\cos \gamma\}$

$$|\ln h_{\pi} (1 - re^{-t_{\pi}})| < C_{\rho} \pi^{\rho+1-\rho} + r^{-\rho},$$
 (10)

где постоянная Ср не зависит от г и о.

Пемма 2. Пусть последовательность точек $z_k = 1 - r_k e^{-tb}$ ($|\psi| < \frac{1}{2 \cdot 2} \le |z_k| < 1$) вновь удовлетворяет условию (8) $u = \ge 2 - \pi \kappa$ -бое число.

Положим далее, что
$$z = 1 - re^{-le} (\varphi \neq \psi |\varphi| < \frac{\pi}{2}, 0 < r < 2\cos\varphi$$
)

произвольная точка, лежащая внутри единичного круга.

Тогда при $0 < r < \min \{2\cos z, \frac{2}{-\cos b}\}$ положив

$$H_{z}(z) = \prod_{r: \langle r_{k} \rangle < 2\cos\psi} A_{p}(z, z_{k}), \tag{11}$$

будем иметь

$$|\ln H_{-}(1-re^{-i\varphi})| < C_{\mu}^{-1} \cdot r^{-\varphi}$$
 (12)

rde постоянная C_p не зависит от r и τ_p

Из лемм 1 и 2 очевидно следует

Леммя 3. Для любого в 0 можно выбрать >>0 состаточно малым и з 2 достаточно большим так, чтобы неравенства

$$|\ln h, (1 - re^{-i\varphi})| < \varepsilon \cdot r^{-\varphi}, |\ln H, (1 - re^{-i\varphi})| < \varepsilon \cdot r^{-\varphi}$$
 (13)

выполнялись для всех значений

$$0 < r < \min\{1, 2\cos \varphi, \frac{2}{-\cos \psi}\}.$$

Причем $1 \le p \le p или <math>p = 0$, 0 .

На основании леммы 3 устанавливаются следующие теоремы об асимптотическом представлении функции $\pi_{\sigma}(z;z_{4})$ в специальном случае распределения ее нулей

Теорема 1. Пусть последовательность точек |zh | - (|ze| = 1.

$$k = 1, 2, \ldots, \lim_{k \to \infty} z_k = 1$$
) лежит на луче $\arg (1-z) = -\psi \ (|\psi| < \frac{\pi}{2})$ и

имеет плотность

$$\Delta = \lim_{t \to 0} t \quad n(t), \tag{14}$$

гое $\varphi > 0$ некоторое нецелое число, причем $|\varphi| = p - 0$. Тогда при $z = 1 - re^{-i\varphi}$ (|z| < 1, $\varphi \neq \psi$, $|\varphi| < \frac{\pi}{2}$)

$$\lim_{r\to 0} r \ln \pi_p(1-re^{-r}, z_k) = \frac{\pi \cdot \Delta}{\sin \pi_0} M(\varphi; z_k). \tag{15}$$

где

$$M(\varphi;\psi) = |\exp[i\rho(\varphi - \psi) - i\pi\rho \operatorname{sgn}(\varphi - \psi)] - e^{in(\varphi + \psi) - 2\rho i\psi} \sum_{k=1}^{p+1} (-1)^{p-k+1} {p-p \choose k-1} (1 + e^{2i\psi})^{k-1}.$$
(16)

Теорема 2. Если µ ⇒ р ≥ 1 целое число, а другие условия теоремы 1 остаются неизменными, то

$$\lim_{r \to 0} r^p \ln \pi_n (1 - re^{-i\varphi}; z_k) = -\Delta e^{ipt-\varphi} |I| |2| + \pi \operatorname{sgn} (\varphi - \psi) |+$$

$$+\sum_{k=1}^{p} \frac{1}{k} (1 + e^{2i\frac{k}{2}})^{k} \}. \tag{17}$$

3 В общем случае на последовательность $|z_b|^2(0\cdot|z_k|<1.$ lim $z_k=1)$ мы налагаем следующие условия:

a) Для данного целого p≥0

$$\sum_{k=1}^{\infty} (1-|z_k|)^{p+1} < +\infty.$$
6) Ecah $z_k = 1 - r_k e^{-i\psi_k}$, to $0 < r_{k+1} < r_k < 2\cos\psi_k$ if $|\psi_k| \le (18)$

$$\leq - \tau_1(\tau_1 > 0) k = 1, 2, \dots$$

в) Для всех значений $||\cdot|| < -\tau_i|$, за исключением, быть может, счетного множества, существует конечный предел

$$\lim_{t \to 0} t^{\rho} n(t) = \Delta(\phi)$$

при некотором ρ , причем $|\rho| = \rho = 0$. Здесь $n(\ell; \psi)$ — означает число точек $z_k = 1 - r_k e^{-\ell \psi_k}$, для которых

$$t < r_k < 2 \cos \psi_k$$
, $-\frac{\pi}{2} + \eta < \psi_k < \psi$.

г) Существует число d>0 такое, что кружки радиусов

$$\rho_k = d(1-|z_k|)^{-1+\sqrt{2}} \tag{20}$$

(19)

с центрами в точках | z* | не пересекаются.

Множество точек этих кружков мы назовем C^* — множеством. Наряду с последовательностью $|z_k|_1^*$ введем в рассмотрение последовательность точек $|z_k|_1^*$ ($|z_k| < 1$, $\lim_{k \to \infty} z_k = 1$), удовлетворяющих условиям

$$z'_{k} = 1 - r_{k} e^{-i\psi'_{k}}, \quad |\psi_{k} - \psi'_{k}| < t < \frac{\eta}{2}$$
 (21)

и положим

$$f_{\delta}(z) = \prod_{|z_{k}-z| < \delta(1-r)} A_{p}(z;z_{k}); F_{\delta}(z) = \prod_{|z_{k}-z| < \delta(1-r)} A_{p}(z;z_{k}); \qquad (22)$$

$$f_{\delta}^{t}(z) = \prod_{|z|-|z| < \delta(1-r)} A_{p}(z;z_{k}); \quad F^{t}(z) = \prod_{|z|-|z| < \delta(1-r)} A_{p}(z;z_{k}),$$

гле
$$\delta \in (0,\frac{1}{2}), |z| = r < 1.$$

Для доказательства основного результата нами устанавливаются следующие две леммы.

Лемма 4. Пусть z (|z|=r<1) не принадлежит C — множеству. Тогда при $1 \le p \le p < p+1$ или p=0, $0 для любого <math>\epsilon>0$ и при достатьчно малом p=0 имеет место неравенство

$$|\ln f_{r}(z)| < s \cdot (1-r)^{-p} \left(\frac{1}{2} < r < 1\right).$$
 (23)

Лемма 5. При 1 $p \le p+1$ или p=0, 0 < p-1 для любого t < 0 и для всех достаточно малых t > 0 имеет место неравенство

$$|\ln F_n(z) - \ln F_n'(z)| = z(1-r)^{-p} \qquad \left(|z| = r < \frac{1}{2}\right).$$
 (24)

1°. Докажем теперь теорему об асимптотическом представлении функции $\pi_p(z; z_k)$ в общем случае распределения ее нулей.

Теорема 3. Пусть последовательность точек $|z_k|_1$ угов летворяет условиям а), б), в) и г). Тогда при z=1— $re^{-(|z|<1,|z|)}\leq \frac{1}{2}$ — $re^{-(|z|<1,|z|)}\leq \frac{1}{2}$ — $re^{-(|z|<1,|z|)}\leq \frac{1}{2}$ не принадлежащем C—множееству, для функции $re^{-(|z|-1)}$ ($0\leq p<0$) справедливо предельное соотношение притом равномерно по $|z|\leq \frac{1}{2}$ — $re^{-(|z|-1)}$

$$\lim_{r\to 0} r^r \ln \pi_p(1-re^{-i\varphi}; z_r) = \frac{\pi}{-1} \int_{\pi}^{\pi} M(\varphi; \psi) d\Delta(\psi), \tag{25}$$

где M(Ф; b) - функция (16).

Доказательство. Произведем разбиение отрезка $\left[-\frac{\pi}{2}+\eta,\frac{\pi}{2}-\eta\right]$ точками $\{b_{ij}\}_{0}^{n}$ таким образом, чтобы

$$-\frac{\pi}{2}+\eta=\vartheta_0<\vartheta_1<\ldots<\vartheta_n=\frac{\pi}{2}-\eta,$$

и при достаточно малом t О имели

$$\max_{1 \le j \le n} |0_j - 0_{j-1}| = t$$

Любую из точек $z_k = 1 - r_k e^{-t}$ (k = 1, 2, ...) заменим соответственно точкой $z_k = 1 - r_k e^{-t\theta_f}$ положив, что при данном $k = \theta_f$ (0 $f \le n$) определяется из условия $\theta_f = \theta_{f+1}$.

Наконец, определим функцию

$$\pi_p(z; z_k) = \prod_{k=1}^{n} A_p(z; z_k).$$
 (26)

Заметив, что в силу определений (22)

$$\pi_p(z; z_k) = f'(z) \cdot F_k(z), \quad \pi'_p(z; z_k) = f'_k(z) \cdot F'(z),$$

будем иметь

$$|\ln \pi_{\rho}(z; z_k) - \ln \pi_{\rho}^{\ell}(z; z_k)| = |\ln f_{\pi}(z)| + |\ln f'(z)| + |\ln F_{\pi}(z) - \ln F'(z)|.$$
 (27)

Применяя лемму 4 к функциям $f_n(z)$ и f'(z), и учитывая также лемму 5, из (27) получим, что для любого $\epsilon > 0$ и для всех достаточно малых t > 0 имеет место неравенство

$$|\ln \pi_p(1-re^{-iz}; z_k) - \ln \pi_p^t(1-re^{-iz}; z_k)| < \frac{-r^{-p}}{2}$$
 (28)

при всех $z=1-re^{-i\varphi}$ $\left(|z|<1, |\varphi|\leq \frac{\pi}{2}-\tau \right)$ не принадлежащих C—множеству.

Далее обозначим через $G'(z; z_k)$ произведение тех множителей из (z_k, z_k) , для которых точки z_k расположены на луче $\arg(1-z)=-0$ ($0 \le i \le n-1$). Очевидно, что

$$\pi_{p}(z; z_{h}) = \prod_{j=0}^{n-1} G'(z; z_{h}). \tag{29}$$

Обозначая

$$S_n(\varphi) = \frac{1}{\sin(\varphi)} \sum_{j=0}^{n-1} M(\varphi; \vartheta_j) [\Delta(\vartheta_{j+1}) - \Delta(\vartheta_j)], \tag{30}$$

и применяя теорему 1 к каждой функции $G_j(z;z_k)$ (что, очевидно, допустимо) из (29) получим, что существует число $r(\epsilon)>0$ и так, что при $0< r< r(\epsilon)$, $|\gamma-1|>n$

$$|r^{-p}\ln\pi_p^t(1-re^{-i\varphi};z_k)-S_n(\varphi)|<\frac{\varepsilon}{2}.$$
 (31)

Отсюда и из (28) следует, что если $z=1-re^{-r}$ С°, то при $0 < r < r(\epsilon)$

$$|r^{-r} \ln \tau_p(1 - re^{-l\varphi}; z_k) - S_n(\varphi)| < \varepsilon$$
(32)

причем равномерно по ф при | ф - 0 / > 7.

Пронзведем второе разбиение отрезка $\left[-\frac{\pi}{2}+\eta;\frac{\pi}{2}-\eta\right]$ точками $|0\rangle_0$, $\max_1 |0\rangle_0 + |0\rangle_{j-1} = t$ и выберем число $\eta_1>0$ так, чтобы множества $|\gamma-\theta_j|\gg\eta_1$ и $|\gamma-\theta_j|\gg\eta_1$ перекрывали весь отрезок $\left[-\frac{\pi}{2}+\eta;\frac{\pi}{2}-\eta\right]$

Тогда неравенство (32) имеет место при 0 < r < r(z), вне C - множества, равномерно по φ при $|\varphi - 0| > \eta_1$. В силу того, что множества $\varphi - \theta_j > \eta_1$ и $|\varphi - \theta_j| > \eta_2$ ($0 \le j \le n$) покрывают весь отрезоч $\left[-\frac{\pi}{2} + \eta; \frac{\pi}{2} - \eta\right]$, то неравенство (32) имеет место равномерно по $\varphi \in \left[-\frac{\pi}{2} + \eta; \frac{\pi}{2} - \eta\right]$ при $z = 1 - re^{-t} + C^\circ$.

Наконец, поскольку

$$\lim_{t\to 0} S_n(\varphi) = \frac{1}{\sin \pi \rho} \int M(\varphi, \mathbb{I}) d\Delta(\mathbb{I}),$$

то из (32) следует утверждение теоремы:

Вполне аналогично, на основании теоремы 2 доказывается Теорема 4. Если — р исловчисло, а другие условия теоремы 3 остаются неизменными, то вне С³—множества

$$\lim_{n \to 0} r^{p} \ln \pi_{p} \left(1 - re^{-\frac{1}{2}} z_{n}\right) = \int_{0}^{e^{2\pi i}} e^{2\pi i} \left[1 \left(1 + e^{2\pi i}\right)^{n}\right] d\Delta(\psi). \tag{33}$$

Из теоремы 3 вытекает также Следствие. Функции Бляшке

$$B(z;z_k) = \prod_{k=1}^{\infty} \frac{z_k - z_{k-1}}{1 - z_{k} z_k}$$

в условиях теоремы 3, налагаемых на последовательность $\{z_k\}_1^{\tau}$, вне C° —множества удовлетворяет равенству

$$\lim_{r \to 0} r^{\rho} \ln \pi_{p} (1 - re^{-i\varphi}, z_{k}) = \frac{\pi e^{t}}{\sin \pi \rho} \int_{-\frac{\pi}{2} + \tau_{i}}^{\frac{\pi}{2} - \tau_{i}} |e^{-i\varphi}| + \frac{\pi}{2} e^{-i\varphi} |d\Delta(\psi)|. \tag{34}$$

Это утверждение следует из (4), (25) и (16).

В заключение автор выражает глубокую признательность академику АН Армянской ССР М. М. Джрбашяну за постановку задачи и постоянное внимание к работе.

Ерепанский государственный универсистет

IF. U. PALIBILY

=_p (=; =<u>a</u>) ֆունկցիայի ասիմպառաական հատկությունների մասին

արտանում ուսո մնասիրված են II, II Ջրրաշլանի կողմից ներմունված $\Box_{\mu}(z;z_k)$ անվերջ արտադրլալի ասիմպտոտական հասկությունները։ Ալդ անկանականության կրա դրված որոշ սահմանափակումների դեպքում ստացված են ճշգրիտ ասիմպտոտական դանաձևեր $\Box_{\mu}(z;z_k)$ կունականարում արտական դանաձևեր $\Box_{\mu}(z;z_k)$

ЛИТЕРАТУРА— ЭРИЧИБИНРЗИРЫ

¹ Р Непинлинна, Одновначные вналитические функции, Гостехнадат, 1941 — М М Джрбашян, ДАН Арм ССР, т 3, № 1 (1945) ¹ М М Джрбашян, Сообщ инст. матем и мех. АН Арм. ССР, 2, 1948 ⁴ Б. Я. Левин. Мат. сб. 2(44): 6 (1937), 1057—1142

LIX

1974

4

УДК 5393

МЕХАНИКА

Г. Е. Багдасарян

Устойчивость проводящей пластинки в потоке проводящего газа при наличии магнитного поля

(Представлено академиком АН Армянской ССР С. А. Амбарцумяном 22/V 1974)

В последнее время большое внимание уделяется задачам устойчивости пластин и оболочек в потоке проводящего газа при наличии магнитного поля (1—1). В этих работах влияние магнитного поля учитывается, с одной стороны, силой, с которои магнитное поле действует на токи проводимости в газе, а с другой стороны, силой, обусловленной напряжениями Максвелла на поверхности тела. В перечисленных работах электромагнитные эффекты в теле не рассматриваются, т. е. не учитываются силы, обусловленные токами проводимости в пластинке или оболочке.

В настоящей работе на основе уравнений магнитоупругости тонких тел, полученных в (7-8) рассматривается задача устойчивости плоской формы проводящей пластинки в магнитном поле, обтекаемой сверхзвуковым потоком идеально проводящего невязкого газа. Вектор напряженности заданного магнитного поля перпендикулярен как плоскости движения, так и вектору скорости обтекаемого потока. Исследуется влияние проводимости материала пластинки на критическую скорости флаттера. Получена приближенная формула для расчета избыточного давления газа на тело. Эту формулу можно применять для приближенного расчета избыточного давления газа на пластинку с конечными размерами.

1. Пусть упругая бесконечная изотропная пластинка постоянной толщины 2h отнесена к декартовой системе координат x, y, z, так, что срединная плоскость педеформированной пластинки совпадает с координатной плоскостью x y.

Пластинка, изготовленная из материала с конечной постоянной электропроводностью в, помещеня во внешнем магнитном поле с за-

данным вектором папряженности H_0 (0, H_1 0), параллельным оси ny.

Пусть, далее, пластинка, с одной стороны (=> //) обтекается сверхзвуковым потоком идеально проводящего газа, с невозмущенной скоростью U, направленной вдоль осн ох.

Принимаются следующие предположения:

- а) гипотеза магнитоупругости тонких тел, определяющая законы изменения упругих перемещений и компонент электромагнитного поля по толщине пластинки (7.5);
- б) в области h имеют место уравнения Максвелла для вакуума;
- в) магнитные и диэлектрические проницаемости газа и материала пластинки считаются равными единице;
- г) реализуется цилиндрическая форма потери устойчивости (все величины не зависят от координаты у);
 - д) влияния напряжений Максвелла в вакууме пренебрегаются (°).

Предполагается также, что упругне перемещения и электромагнитные возмущения настолько малы, что можно пользоваться линейными уравнениями.

В силу принятых предположений для гассматриваемой задачи получим следующие исходные уравнения и соотношения.

Уравнения магинтогазодинамики для области z > h

$$\frac{\partial^{2}\varphi_{0}}{\partial t^{2}} + 2U\frac{\partial^{2}\varphi_{0}}{\partial x\partial t} + U^{2}\frac{\partial^{2}\varphi_{0}}{\partial x^{2}} - \left(a_{0}^{2} + V_{A}^{2}\right)\left(\frac{\partial^{2}\varphi_{0}}{\partial x^{2}} + \frac{\partial^{2}\varphi_{0}}{\partial z^{2}}\right) = 0$$

$$\frac{\partial\varphi_{1}}{\partial t} + U\frac{\partial\varphi_{1}}{\partial x} + \varphi_{0}\left(\frac{\partial^{2}\varphi_{0}}{\partial x^{2}} + \frac{\partial^{2}\varphi_{0}}{\partial z^{2}}\right) = 0, \quad p = p_{0} + a_{0}^{2}\varphi_{1}$$

$$\frac{\partial h_{y}}{\partial t} + U\frac{\partial h_{y}}{\partial x} + H\left(\frac{\partial^{2}\varphi_{0}}{\partial x^{2}} + \frac{\partial^{2}\varphi_{0}}{\partial z^{2}}\right) = 0, \quad v = grad\varphi_{0}$$

$$\frac{\partial\varphi_{1}}{\partial t} + U\frac{\partial\varphi_{1}}{\partial x} + H\left(\frac{\partial\varphi_{0}}{\partial x^{2}} + \frac{\partial\varphi_{0}}{\partial z^{2}}\right) = 0, \quad v = grad\varphi_{0}$$

Здесь $a_0^2 = \chi p_0/p_0$ —скорость звука в невозмущенном газе, χ —показатель политропии, p_0 —дявление, p_0 —плотность невозмущенного газа, $V_A^2 = H^2/4\pi p_0$ —скорость распространения электромагнитных волн

Альфвена, p—давление, ρ_1 —плотность, $v(v_s, v_s)$ — вектор скорости возмущенного газа, h_y —компонента индуцированного в газе магнитного поля в направлении оси oy.

Уравнения движения пластинки (*)

$$D\frac{\partial^{3}w}{\partial x^{4}} + 2\rho h \frac{\partial^{2}w}{\partial t^{2}} = \frac{2\sigma h}{c} + H\left(\varphi - \frac{H}{c} \frac{\partial w}{\partial t}\right) + \frac{2\sigma h^{3}}{3c} + H\frac{\partial^{2}\varphi}{\partial x^{2}} - \frac{2\sigma h^{3}}{3c^{2}} + H^{2}\frac{\partial^{3}w}{\partial x^{2}\partial t} + Z = 0$$

$$= \frac{2\sigma h^{3}}{3c^{2}} + H^{2}\frac{\partial^{3}w}{\partial x^{2}\partial t} + Z = 0$$

$$= \frac{2\pi h^{3}}{3(1-v^{2})}$$

$$= \frac{2\pi h^{3}}{3(1-v^{2})}$$

$$= \frac{2\sigma h^{3}}{3(1-v^{2})}$$

Здесь w прогиб, E модуль упругости, r -коэффициент Пуассона, ρ - плотность материала пластинки, φ — компонента индуцированного в пластинке электрического поля в направления осн ox, c скорость света.

Выражение для нормальной составляющей внешней поверхностной нагрузки Z имеет вид (1)

$$Z = -2\rho h \epsilon \left| \frac{\partial w}{\partial t} + \left| -a_0^2 \rho_1 + T_{zz} \right|_{z=h} \right|_{z=h} T_{zz} = -\frac{H}{4\pi} h_y \tag{1.3}$$

В (1. 3) в коэффициент линейного затухания, Tzz - компонента тензора напряжений Максвелла в газе.

Для вектора напряженности электрического поля в газе имеем выражение (1.2)

$$\dot{e} (e_x, e_z) = -\left[H \frac{\partial \varphi_0}{\partial z} i - \left(UH + Uh_x + H \frac{\partial \varphi_0}{\partial x} \right) k \right]$$
 (1.4)

К системам дифференциальных уравнений (1.1)—(1.2) необходимо присоединить условия непроницаемости стенки, условия непрерывности тангенциальных компонент электрического поля на поверхности раздела двух сред и условия затухания электромагнитных и аэродинамических возмущений на бесконечности. Эти условия в нашем случае с учетом (1.4) запишутся следующим образом:

$$v_z = \frac{\partial \varphi_0}{\partial z} = \frac{\partial w}{\partial t} + U \frac{\partial w}{\partial x}$$
 при $z = h$

$$e_x = \varphi = \frac{H}{c} \frac{\partial \varphi_0}{\partial z}$$
 при $z = h$ (1.5)

Нз (1.5) для неизвестной функции э(x, t)легко найти

$$\varphi(x, t) = \frac{H}{c} \left(\frac{\partial w}{\partial t} + U \frac{\partial w}{\partial x} \right) \tag{1.6}$$

2. Решения уравнений (1.1), (1.2) будем искать в виде

$$w = w_0 e^{i(\omega t - kx)}, \qquad = f(z)e^{i(\omega t - kx)}$$

$$\rho_1 = \rho_1(z)e^{i(\omega t - kx)}, \qquad h_y = \rho(z)e^{i(\omega t - kx)} \qquad (2.1)$$

Здесь все функции от z являются неизвестными и подлежат определению, $k=\pi/\ell$ — волновое число, ℓ —длина полуволны в направлении потока, ω —частота колебаний.

Система уравнений (1.1) после подстановки решений в виде (2.1) и некоторых преобразований приводится к одному дифф ренциальному уравнению для определения функции f(z)

$$\frac{d^2f}{dz^2} + \mu^2 f = 0 , \qquad (2.2)$$

где
$$v = k^2 (M_T^2 - 1),$$
 $M^2 = \frac{1}{1 + \ell^2} \frac{(U - V)^2}{a_0}$ $V = \frac{\omega}{k}$ $\ell^2 = \frac{V^2}{a_0^2}$

Остальные неизвестные функции представляются посредством функции f(z) следующим образом:

$$\rho_1(z) = ik\rho_0 \frac{M_1^2}{U - V} f(z)$$

$$V(z) = ikH \frac{M_2^2}{U - V} f(z) \qquad (2.3)$$

Решая уравнение (2.2) и удовлетворяя условиям затухания возмущений на бескопечности и первому уравнению (1.5) имеем:

$$\rho_{0}(x,z,t) = -\frac{k(U-V)}{t^{1}} e^{iu(z-h)} w(x, t),$$

$$\rho_{1}(x,z,t) = -ik^{2} \rho_{0} \frac{M_{1}^{2}}{t^{1}} e^{iu(z-h)} w(x, t),$$

$$h_{y}(x,z,t) = -ik^{2} H \frac{M_{1}^{2}}{t^{1}} e^{iy(z-h)} w(x, t).$$
(2.4)

Заметим, что решение (2.4) получено в работе (1) при исследовании аналогичной задачи для диэлектрической пластинки.

Из (1.3) в силу (2.4) для поперечной нагрузки получим выражение

$$Z = -2\rho h \epsilon \frac{\partial w}{\partial t} + i k^2 a_0^2 \rho_0 \frac{M_1^2}{u} (1 + \lambda^2) w(x, t), \qquad (2.5)$$

которое при M^2 1 (газ перемещается достаточно быстро относительно воли деформации, распространяющихся и пластинке) принимает следующий упрощенный вид:

$$Z = -2ah \left(\frac{\partial w}{\partial t} - \frac{\gamma D_0}{a_0}\sqrt{1+t^2}\right) \left(\frac{\partial w}{\partial t} + U\frac{\partial w}{\partial x}\right). \tag{2.6}$$

Формула (2-6) является некоторым обобщением формулы для давления, полученной на основе "поршневой теории" классической газодинамики на случай магнитогидродинамического обтекания упругих пластинок.

Анализ устойчивости пластники после подстановки (1.6) и (2.6) в (1.2) сводится к решению следующего дифференциального уравнения:

$$D\frac{\partial^4 w}{\partial x^4} + 2\rho h \frac{\partial^2 w}{\partial t^2} + 2\rho h \epsilon \frac{\partial w}{\partial t} + \frac{\gamma p}{a_0} \sqrt{1 + t^2} \left(\frac{\partial w}{\partial t} + t \cdot \frac{\partial w}{\partial x} \right) - \frac{2\sigma h}{c^2} H^2 U \frac{\partial w}{\partial x} - \frac{2\sigma h^3}{3c^2} H^2 U \frac{\partial^2 w}{\partial x^2} = 0$$

$$(2.7)$$

с соответствующими красвыми условиями на торцах пластинки.

3. Представляя решение уравнения (2.7) в виде (2.1), приходим к характеристическому уравнению, которое записываем следующим обрязом:

$$w^2 - lw(z + \gamma_0 \sqrt{1 + L^2}) + ikU |\gamma_0 \sqrt{1 + L^2} - \sigma_0 L^2(1 - k^2)| - 2 = 0$$

$$\gamma_0 = \frac{\gamma p_0}{2\rho h a_0}, \ \sigma_0 = 4\pi\sigma \frac{a_0^2}{c^2}, \ \Omega_0^2 = \frac{Dk^4}{2\rho h}, \quad k_0^2 = \frac{h^2 k^2}{3}. \tag{3.1}$$

Здесь Ω_0 —частота собственных поперечных колебаний пластинки в вакууме, σ_0 —параметр, характеризующий проводимость материала пластинки, κ параметр, характеризующий напряженность заданного внешнего магнитного поля.

Поступая как в (10), из уравнения (3.1) для критической скорости флаттера получаем формулу

$$U_{k\rho} = V_0 \frac{\varepsilon + \gamma_0 \sqrt{1 + \lambda^2}}{|\gamma_0 \sqrt{1 + \lambda^2} - \gamma_0 (1 - k_0)|}$$
(3.2)

где $V_0 = -\frac{1}{6} / k - \phi$ азовая скорость ряспространения изгибных воли при собственных колебаниях пластинки в вакууме.

В случае отсутствия магнитного поля ($\lambda = 0$) из (3.2) получается формула

$$U_{Rp}^0 = V_0 \left(1 + \frac{\varepsilon}{\gamma_0} \right),$$

которая совпадает с известной формулой, полученной в работе (10) Из (3.2) видно, что → , где

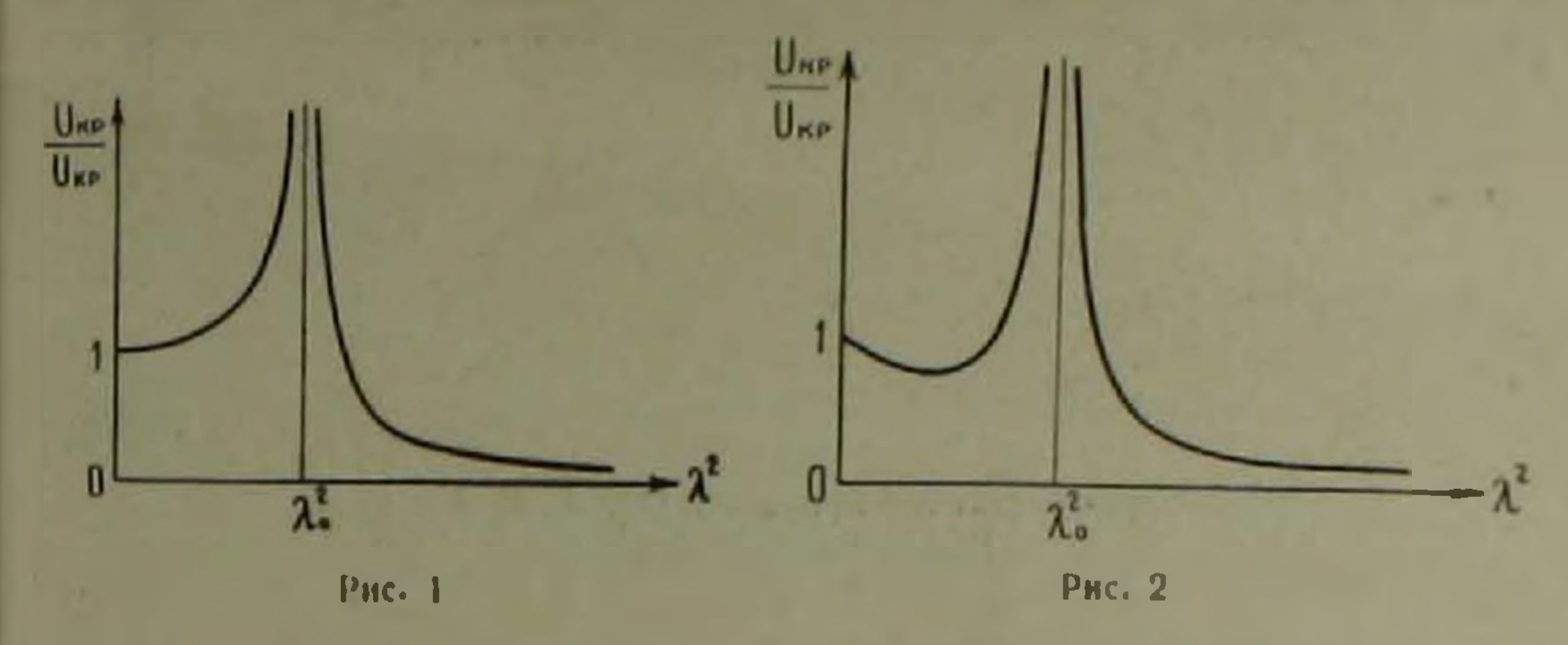
$$i\frac{3}{3} = \frac{70}{5_0} \left[\frac{70}{25_0} + V + \left(\frac{70}{25_0} \right)^2 \right]$$

 U_{kp} ∞ , тем самым исключается возможность возникновения незатухающих колебаний (отсутствие флаттера).

Анализируя формулу (3.2) с точки зрения поведения U_{kp} , в зависимости от напряженности заданного магнитного поля замечаем, что здесь возможны следующие случаи:

- а) Если $2\mathfrak{I}_0$ в (материал пластинки обладает высокой проводимостью), то в промежутке $0 < \ell$ ℓ_0 критическая скорость флаттера с увеличением напряженности магнитного поля увеличивается и стремится к бесконечности при $\ell \rightarrow \ell_0$, а в промежутке $\ell_0 < \ell < +\infty$ имеет место монотонное убывание с горизонтальной асимптотой $\ell_{\ell\rho} = 0$ (рис. 1).

Таким образом, благодаря потоку (он здесь является добавочным источником электромагнитного поля), магнитное поле может



оказать дестабилизирующее влияние, приволящее к уменьшению критической скорости флаттеря.

Институт механики Академии паук Армянской ССР

Դ, Ե. ԲԱՂԴԱՍԱՐՅԱՆ

Հաղուդիչ սալի կայունությունը հագահանկան դաշտում ճաղուդիչ գազի ճոսանքով շորճոսվելիս

Հարթությանը։
Նարթությանը։
Հարթությանը։

Ելնելով բարակ մարմինների մագնիսաառաձգականության վարկածից և համատեղ լուծելով մագնիտագազադինամիկայի ու սալի շարժման հավասարումները ստացված է բանաձև գազի ձնշումը որոշելու համար։ Վերջինս հանդիսանում է կլասիկ գազադինամիկայում համապատասխան բանաձևի ընդհանրացումը մագնիսական դաշտի առկայության դեպքում։

Ցույց է տրված, որ ի տարթհրություն դիէլեկտրիկ սալերի, հաղորդիչ սալերի դեպքում, մագնիսական դաշտի առկայությունը էապես կարող է փորրացնել կրիտիկական արագության մեծությունը։ Ստացված է պարդ թանաձև կրիտիկական արագության հաշվմուն համար։

ЛИТЕРАТУРА— ԳՐԱԿԱՆՈՒԹՅՈՒՆ

1 S. Kallski, L. Solarz, Proc. Vibr. Probl. vol. 3, №3 (1962). 2 Г. Е. Багдасарян, М. В. Белубекян, МТТ, №6, 1966. 3 М. И. К. 2 елев Магинтиан ги гродинамика, №1, 1966. 4 И. Т. Селезов, Л. В. Селезова "Магинтизя гизродинамика", №1, 1967-2 Р. И. Овакимян, "Изнестия АН Арм. ССР", Механика, т. 20, №4 (1967). 4 А. С. Вольмир, Л. В. Селезова, Прикладная механика, т. 7 в 5, (1971). 7 С. А. Амбармумин, Г. Е. Багдагарян, М. В. Белубекян ПММ, т. 35, в. 2,(1971). 9 Д. Л. Амбармумян Г. Е. Гагда арян, М. В. Белубекян ПММ, т. 37, п. 1 (1973). 5 С. Каltski Proc. Vibr. Probl., vol 3, №4 (1962). 10 В. В. Болотин Нек исервативные задачи теории упругой устойчивости, Физматенз, М., 1961

УДК 537 3125

ФИЗИКА

Член-корреспондент АН Армянской ССР Г. М. Авакьянц, З. Н. Адамян, С. А. Тарумян

Действие электронов низких энергий на характеристики S-диодов из кремния, компенсированного цинком

(Представлено 25/11 1974)

Известно много работ посвященных действию электронного луча на полупроводниковые материалы и приборы (¹→¹).

В большинстве этих работ энергия электронного излучения достаточна для образования в толще полупроводника радиационных дефектов, которые и приводят к качественно новым физическим результатам. Так, например, в описанном в (4) случае, облучение электронами обычных р п переходов вызывало появление S-образности на вольтамперной характеристике. Энергия электронов в этих опытах лежала в интервале 1—10 Мэв. Представляет большой интерес также бомбардировка полупроводниковых приборов электронами с низкой энергией, не приводящей к образованию раднационных дефектов (не превышающий десятков кэв). Чувствительность полупроводниковых приборов к электронным пучкам указанных энергий поэволяет создать ряд оригинальных электронных устройств. Такие исследования проведены в данной работе на диодах с S-образной вольтамперной характеристикой из кремния, компенсированного цинком. Технология компенсации материала и последующее изготовление днодов подробно изложено в (в) *п*—тип кремний с исходным удельным сопротивлением 4 о.и. см после компенсации сохранил тип проводимости и имел сопротивление 3÷4.10³ ом см. С целью непосредственного облучения базы дпода использовались сошлифованные образцы. В качестве источника электронного излучения использовалась электронная пушка установки ПРСЭЛ с 1-образным вольфрамовым накалом, длиной 12 мм и диаметром 0,15 мм. Ускоряющее напряжение плавно регулировалось в диапазоне 0 : 20 кв. Давление в рабочей камере было менее 10-3 тор. Ток электронного луча измерялся при помощи микроамперметра М95. отрицательной клеммой, присоединенной к одному из выводов диода, и положительной-прямо на землю. Ток пучка измерялся непосредственно перед спятием характеристик диодов. Так как поперечное сечение

электронного луча было больше, чем сошлифованная площадь базы днода, то при измерении тока луча измерялась также и та часть тока. которая попадала на металлические подложки и выводы. С целью исключения последних (паразитных в данном случае) токов, на базу диодов перед лучом ставились металлическая рамка с размерами окошка 0,19×1,35 мм. Одна сторона рамки покрывала тыловой контакт, а другая-кончик алюминиевой полусферы.

Накопленные заряды на металлической рамке разряжались на землю через короткозамкнутый провод и таким образом не давали вклада в измеряемый ток, и не создавали тормозящего поля. Измерения проводились при комнатной температуре.

На рис. 1 показана зависимость тока луча от ускоряющего анодного напряжения для двух разных токов накала пушки. Кривая 1 соот-

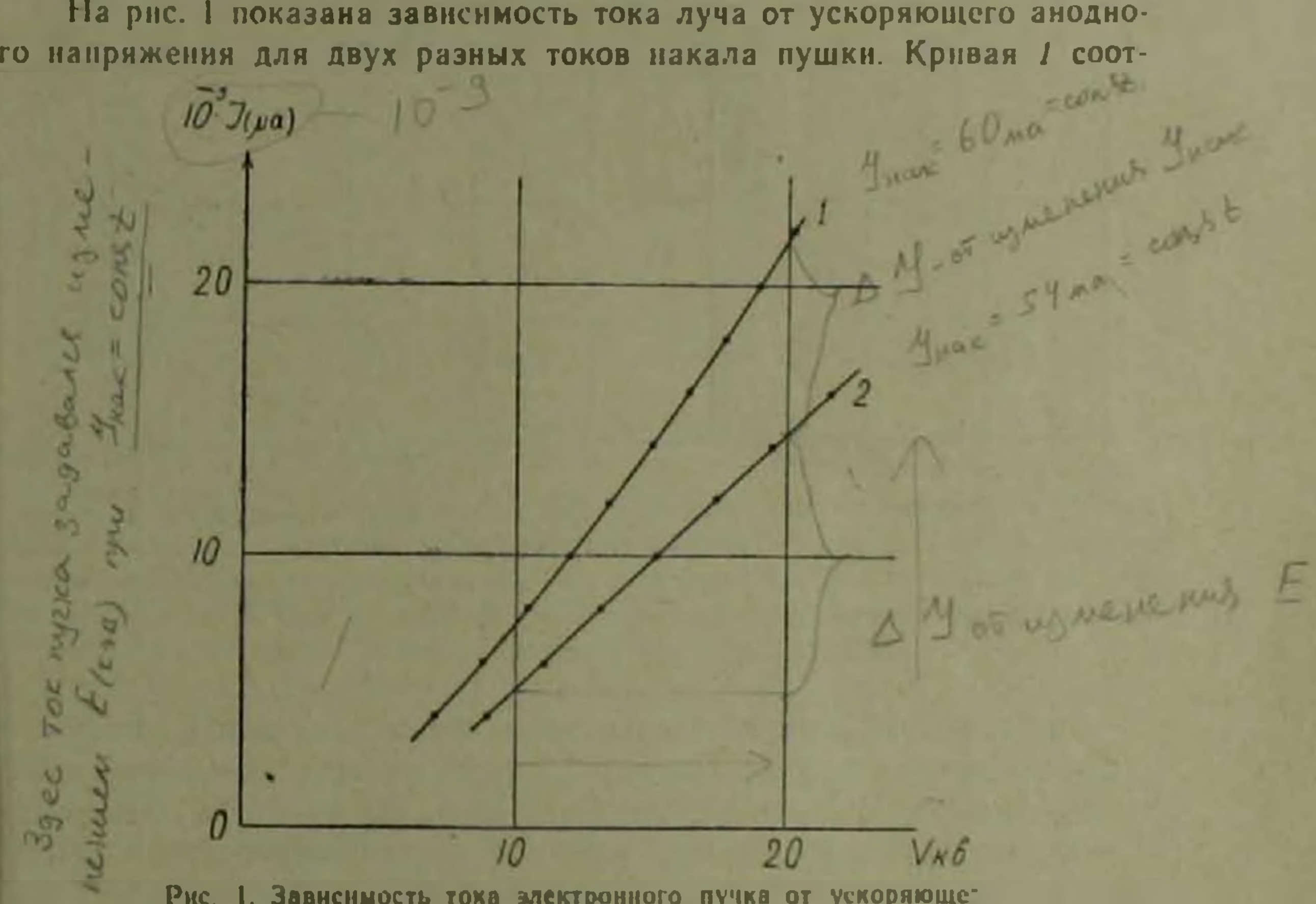


Рис. 1. Зависимость тоха электронного пучка от ускоряющет го напряжения для двух токов накала 60 ма (кривая 1) и 54 ма (кривая 2)

ветствует току накала / нак 60 ма, а кривая 2-току / нак 54 ма Из рисунка видно, что при меньшем токе накала, зависимость почти линейная. С увеличением тока накала эта зависимость переходит в суперлинейную. Отклонение зависимости тока электронного луча от ускоряющего акодного напряжения от общензвестной-/-/---объясняется особенностями структуры анода и наличием системы фокусирующих лииз на пути электронного пучка. При более низких напряжениях (меньше 7 кв) эта зависимость резко отличается от линейной Ввиду отсутствия заметного воздействия электронного луча с током ниже 4.10-9, а на характеристики исследуемых приборов, зависимость тока луча от ускоряющего напряження при значениях последнего ниже 7 кв на рис. 1 не приведены.

Для количественного описания процессов, происходящих в базе днода, важное значение имеет определение числа электронов, попадающих на данную поверхность в единицу времени. Это количество электронов, рассчитанное по формуле $N = \frac{1}{e}$, в зависимости от тока луча изображено на рис. 2,а, где I_{1998} —гок электронного луча, e—заряд электрона. Эта зависимость линейная и количественно не зависит от тока накала пушки, так как данный ток луча при большем токе накала получается уже при меньшем ускоряющем напряжения.

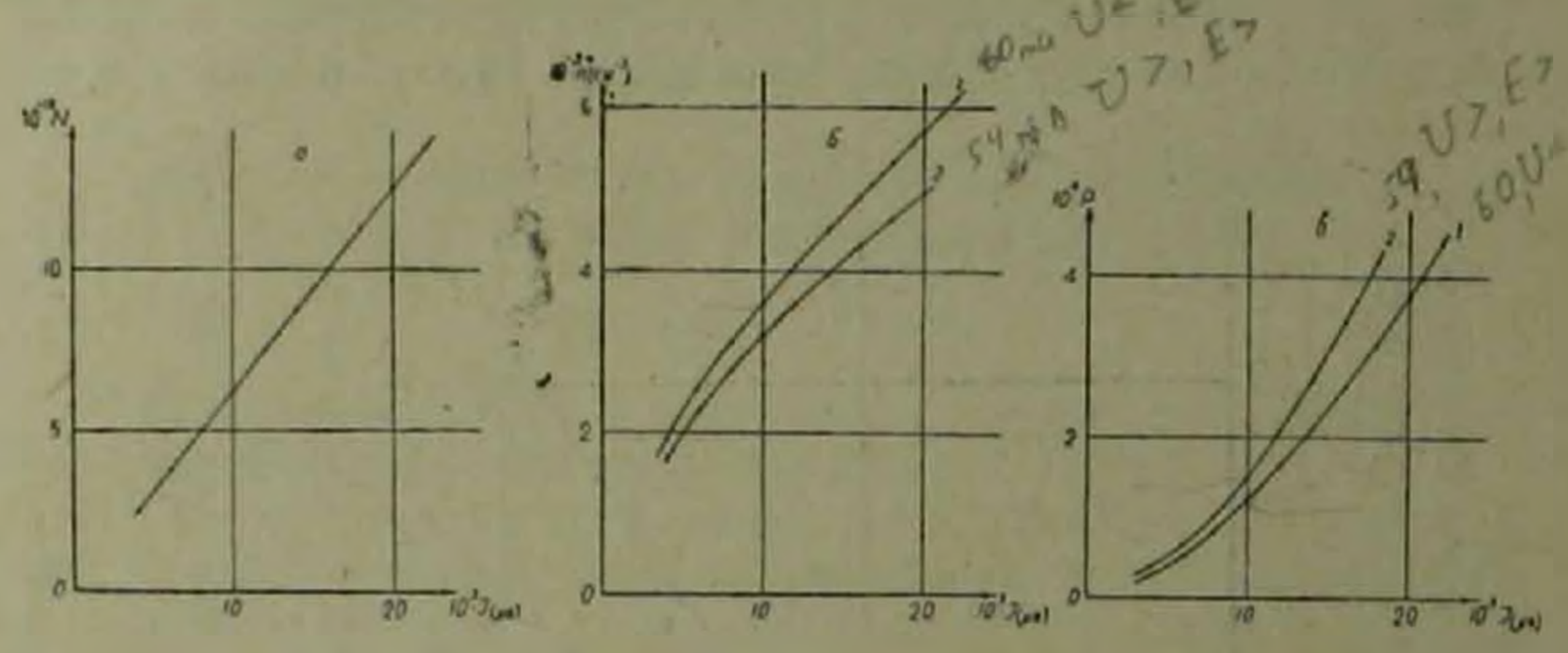


Рис. 2. а—зависимость числа частиц, падающих на данную поверхность в единицу времени, от тока пучка; б—зависимость концентрации электронов в пучке от тока луча при токах накала 60 ма (кривая 1) и 54 ма (кривая 2); в—зависимость падающей на ланную поверхность энергий в единицу времени от тока пучка для тех же токов нахала

Определенный интерес представляет также и величина концентрации электронов в пучке. На рис. 2,6 показана зависимость этой концентрации от величины тока луча $I_{1,y42}$ = esvn, где e-заряд электрона, s-площадь рамки, v-скорость электронов, n-концентрация электронов. Скорость электронов рассчитывается исходя из предположения, что она вблизи инти накала практически равна пулю, и что потенциальная энергия полностью переходит в кинетическую $\frac{mv^2}{2}$ = eU, где U-разность потенциалов между ускоряющим электродом и накалом пушки, m —масса электронов. Из рисунка видно, что при большем накале (кривая 1) концентрация электронов несколько больше, чем при меньшем токе накала (кривая 2). Постоянство тока луча, при изменения смещения накала пушки, достигается за счет изменения напряжения ускоряющего поля: чтобы при меньшем накале через данную поверхность в единицу времени прошло одинаковое количество посителей заряда, скорость последних должна быть больше.

Зависимость концентрации электронов от тока луча при обенх смещеннях накала носит сублинейный характер.

На рис. 2, в изображена зависимость падающей на данную поверхпость мощности (энергия, падающая на данную поверхность в единицу нремени) в зависимости от тока луча для двух нышеуказанных смещений накала. При данном токе пучка и меньшем смещении накала, за счет увеличения скорости электронов, падающая мощность оказывается больше.

Статические вольтамперные характеристики кремниевых S-днодов с примесью цинка при непрерывном облучении электронами энергий снимались на двухкоординатном самопишущем потенциометре ПДС-021М в режиме генератора тока (рис. 3). Рис. 3,а соответствует

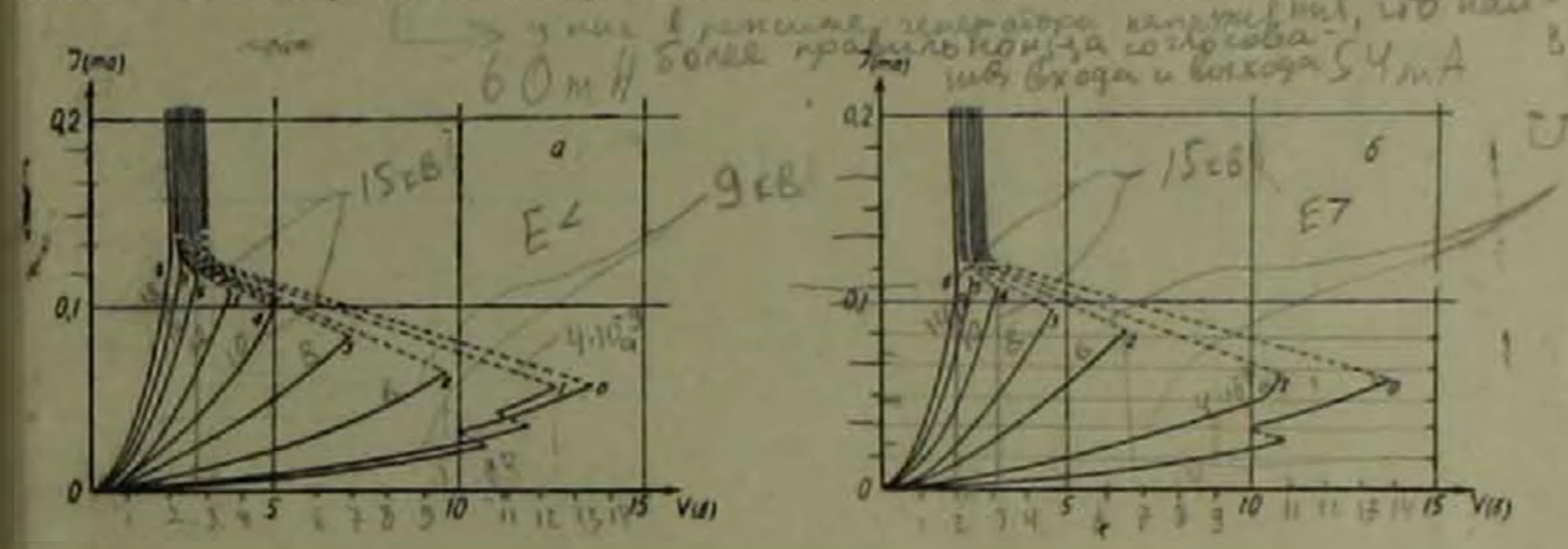


Рис 3 Статические вольтамперные характеристики диодов при разных значениях тока электронного пучка: а-соответствует току накала 60 ма; б-54 ма. Кривая (Отктемновая» характеристика, 1—при токе пучка равном 4:10-°а. Последующие яривые сняты через 2 10- а тока луча

току накала пушки 60 ма, а рис. 3,6—54 ма. Кривая (0) является «темновой» характеристикой прибора. Идентичным номерам кривых на обенх рисунках соответствуют одни и те же токи пучка. Маленький участок отрицательного сопротивления на приведенном образце, при меньшем смещении накала пушки, исчезает уже при токе пучка равном 4.10 ва, а при большем смещении он еще сохраняется. Неконтролируемые участки характеристик начерчены пунктирной линией. Закон изменения статических вольтамперных характеристик до срыва с увеличением тока луча в основном, резко меняется на начальном участке. А, начиная приблизительно с одного вольта до напряжения срыва, с увеличением интенсивности возбуждения, он приближается к линейному. Из рис. З видно, что при низком смещении накала отрицательный участок на вольтамперной характеристике исчезает уже при токе луча равном 14.10- а, в то время как при сравнительно высоком смещении и том же токе луча он еще отчетливо наблюдается. Отрицательный участок здесь полностью исчезает лишь при токе 18 10 т. С дальнейшим увеличением тока луча в обоих случаях происходит незначительное уменьшение напряжения на диоде.

Действие луча на днод после срыва незначительно. Статические вольтамперные характеристики снимались также при вышеупомянутых двух смещениях накала, по уже при постоянном ускоряющем поле. В 81 WHITE BEARING этом случае уменьшение напряжения срыва с увеличением тока накада

заметно меньше, чем при постоянном токе, по уже с меньшим ускоряющим полем. Это видно также и из рис. 1 и рис. 3. Кривые 2 и 1, 6 и 4 на рис. 3 сияты соответственно при ускоряющем поле 9 и 15 кв соответственно Эти пары кривых мало отличаются друг от друга. Представляет интерес также и зависимость напряжения срыва от тока пучка (рис. 4.а). На этом рисунке отчетливо видно, что с увеличением тока луча, при малом токе накала напряжение срыва падает быстрее, чем при большом токе накала.

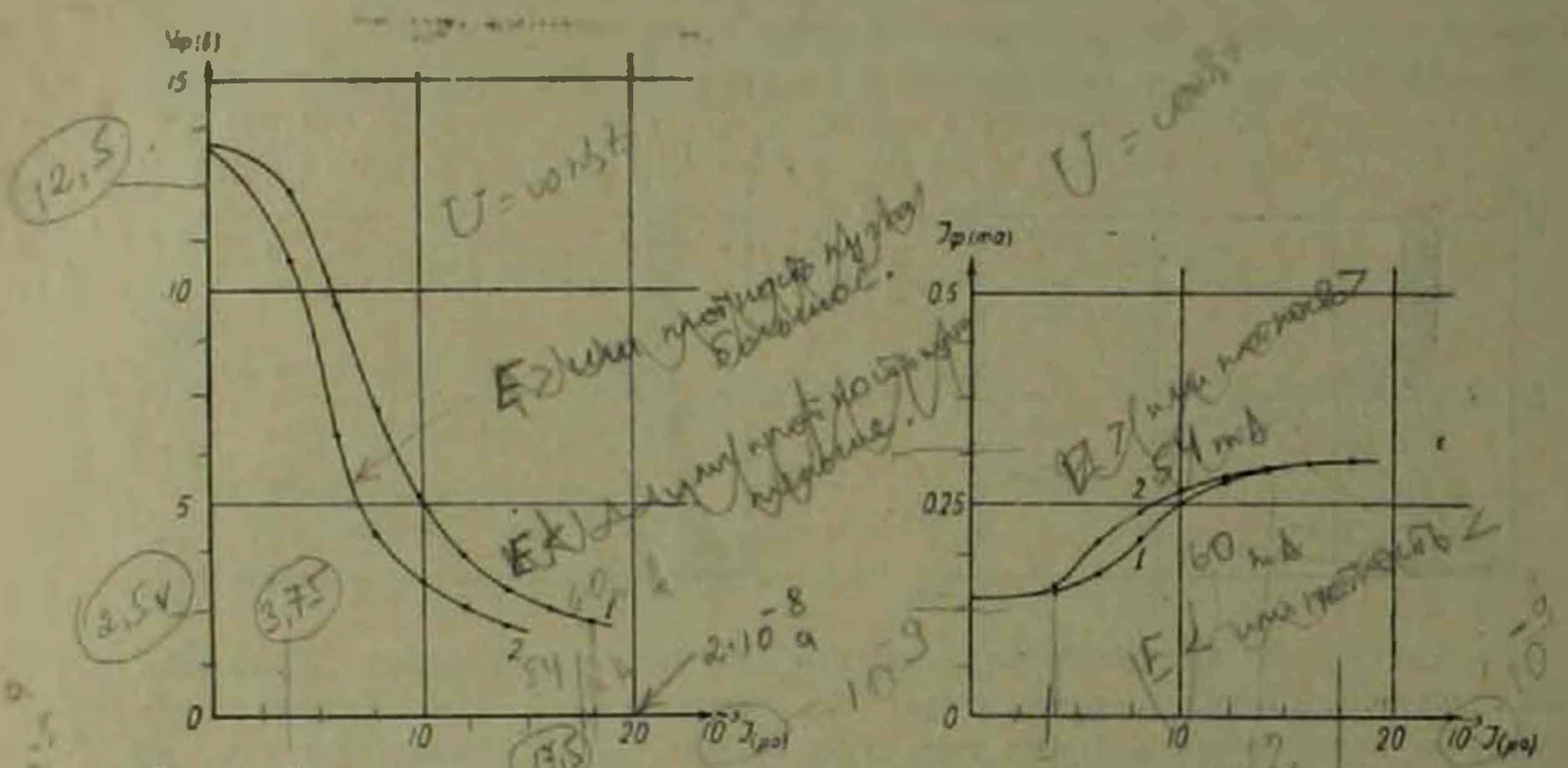


Рис. 4. Зависимость напряжений срыва а и тока срыва б от тока луча при накалах 60 ма (кривая 1) и 64 ма (кривая 2)

Зависимость тока срыва диодов от тока пучка в обоих случаях отличается в основном в интервале токов 4 : 12.10-ра. Начальные и конечные участки этих характеристик полностью совпадают друг с другом.

Отметим также, что после облучения образцов электронами с энергией порядка 30 кэв темновые вольтамперные характеристики заметно не меняются. Характеристики устойчивы также по времени в любой точке непрерывных линий на рис. 3, что, по-видимому, исключает тепловую природу исчезновения отрицательного участка при облучении. Это подтверждается еще и тем, что тепловая мощность, выделяемая при протекании через образец тока, равного току срыва, на порядок больше палающей на поверхность диода мощности. Тот факт, что изменение тока накала (в небольших пределах) не вызывает существенных изменений характеристик, при постоянном ускоряющем напряжении, можно понять если считать, что определяющим фактором в генерации электронно-дырочных пар в полупроводнике является энергия падающих электронов Несмотря на относительно небольшие энергии электронов, их действие на прибор значительно, что видно по исчезновению \$—характеристики.

Исследуемые нами S-диоды могут быть использованы в качестве датчиков электронного излучения. В заключение авторы выражают благодарность Г. Г. Геворкяну за постоянную номощь и подготовку установки к измерениям.

Институт радиофизики и электропики Академии наук Армянской ССР

Հայկական ՍՈՀ ԳԱ թղթակից-անդամ Գ. Մ. ԱՎԱԳՅԱՆՑ, Ջ. Ն. ԱԳԱՄՅԱՆ, Ս. Ա. ԹԱՌՈՒՄՅԱՆ,

որութագրայում օգտված էլեկտոսնների ազդեցությունը ցինկով կոմպենսացված սիլիցիումույին Տ-դիոդների բնութագծերի վրա

Հհտաղոտված է մինչև 20 կէվ էներգիայով օժտված էլևկտրոնալին ինչի ազդեցությունը ցինկով կուհպենսացված սիլիցիումային դիոդների ստաաիկ վոլտամպերային բնութագծերի վրա։ Ցույց է տրված, որ էլևկտրոնային փնջի 1,6 · 10 - Ա հոսանքի դեպքում վոլտամպերային բնութագծի բացասական տիրույթը անհետանում էւ

ЛИТЕРАТУРА — ԳՐԱԿԱՆՈГРЗПІЪ

¹ Раднационная физика неметалянческих кристаллов. Изд. "Наука и техника", Минск, 1970, Изд. "Наукова лумка", Киев. 1967, 1971, т. 3, ч. 1. ² Раднационная физика кристаллов и р-п переходов, изд. "Наука и техника", Минск, 1972. ² L. C. Olsen, IEEE Trans. on Nuclear Sci., NS—19, № 6, 1972. ¹ И. Ф. Николлевии. В. В. Шуренков, ФТП, т. 7, стр. 2265 (1973). ³ Хейс, Калтер, Хокен "Электроника", т. 46, № 18 стр. 34, 1973. ¹ Г. М. Авакьянц, З. Н. Адамян. Р. С. Бариян, С. В. Огане ин. С. А. Тарумян, ДАН Арм ССР, т. ЦП, № 2 (1971).

УДК 550.382.3: [536.4:539.89]

ГЕОФИЗИКА

Ц. Г. Акопян, Л. А. Ахвердян, В. В. Нагапетан, Ю. П. Сковородкин

Исследование особенностей локального изменения геофизических полей сейсмоактивных районов Армянской ССР с целью поисков предвестников землетрясений

(Представлено академиком АН Армянской ССР А. Г. Назаровым 25/V 1974)

Одной из причик локального изменения геомагнитного поля под действием тектонических напряжений в горных породах может явиться появление и изменение пъезоостаточной намагниченности, если породы обладают способностью приобретать последнюю.

Экспериментальными исследованиями установлено, что интрузивные и эффузивные породы сейсмоактивных эон республики (Зангезур, Гарни) обладают большими по величине вязкой (I_{rv}) и пъезоостаточной (I_{rp}) намагниченностями (I). Установлено, что чем больше величина начальной намагниченности, тем меньше скорость роста пъезоостаточной намагниченности с давлением, следовательно, тем меньше вклад пъезоостаточной намагниченности в общую намагниченность и наоборот.

Поскольку одной из причин изменения локального геомагнитного поля может быть наличие одноосного избыточного напряжения в земной коре, то определенный интерес представляет поведение вязкой намагниченности при воздействии статического давления различной величины.

Экспериментально установлено, что вязкая остаточная намагниченность растет быстрее после воздействия давления. Величина вязкой намагниченности горных пород наиболее сильно изменяется при давлениях, по величине близких к избыточным давлениям в земной коре (порядка 200 кг/см²). Можно полагать, что если породы в сейсмозктивном районе прнобретают достаточно большую вязкую намагниченность, то изменение ее при накоплении напряжений может внести существенный вклад в величину сейсмомагнитного эффекта.

Так как горные породы сейсмоактивных районов неоднократно подвергаются действию напряжений, сейсмомагнитный эффект должен быть обусловлен, главным образом, обратимыми изменениями оста-

точной намагинченности и магнитной воспринмчивости в зависимости от давлений. Необратимые изменения всегда максимальны при первом наложении и сиятии давления. При повторных наложениях и снятиях давления, не превышающего первоначальное, необратимые изменения стремятся к нулю, и основную роль играют обрагимые изменения. Исследования магнитных свойств горных пород сейсмоактивных районов республики при высоких термодинамических параметрах нами проводились по методике, изложенной в работах (21). Вначале образец подвергается максимальному сжатию ($P_{\rm max}$) после этого давление снимается и измеряются величины магнитных характеристик. Затем образец подвергается последовательному нагружению и разгрузке. Замер I_r и х производится для каждого фиксированного значения давления. Величина магнитной восприимчивости замерялась соответствующими датчиками по двум направлениям: параллельно оси сжатия и перпендикулярно.

Температурные исследования проводились следующим образом нагретый до определенной температуры образец предварительно вы держивался 30 минут при этой температуре, а затем подвергался давлениям в следующих температурных интервалах: 20, 150, 300 С

Исследования × и I_r пород под давлением показали, что интрузивные породы Зангезурского полигона, представленные аплитовидными гранитами, гранодиоритами и габбро-диоритами, обладают значитель-

но большими коэффициентами
$$\beta$$
 и γ , где $\beta = \frac{1}{z_0} \frac{\partial z}{\partial \rho}; \qquad \gamma = \frac{1}{I_{r_0}} \frac{\partial I_r}{\partial \rho};$ $\gamma = \frac{1}{I_{r_0}} \frac{\partial I_r}{\partial \rho};$

Величина 3 для пород Зангезурского полигона изменяется в пределах от $1.2 \cdot 10^{-4}$ до $3.3 \cdot 10^{-4}$ см²/кг. Коэффициент 3 уменьшается при повышении температуры от 20 до 300° С в пределах от 5 до 30%.

Величина у при повышении температуры до 300 С заметно умень-

Лабораторными исследованиями установлено, что образцы пород изучаемого района обладают достаточно большой скоростью роста вязкой намагниченности, поэтому можно предположить, что в течение времени между двума последовательными сейсмическими событиями может образоваться значительная по величине вязкая намагниченность а се изменения под действием напряжений могут внести вклад в сейсмомагнитный эффект (4.5).

Ориентировочные расчеты ноказывают, что наблюденные в 1968—69 гг. локальные изменения геомагнитного поля в Зангезурском полигоне, связанные с землетрясениями или их автершоками (6-9) могут быть объяснены изменением магнитного момента объемов горных пород в результате процесса изменения их напряженного состояния Как известно, 9 июня 1968 г. в районе Зангезура произошло сильное землетрясение. В эпицентральной зоне (район с. Гярд) сила землетрясения достигла 7,5—8 баллов. По данным Д. Н. Рустановича (10) глубина

очага 6-8 км. Вслед за землетрясеннем в районе эпицентра у с. Гярд н в гор. Горисе нами были установлены полевые магнито-вариационные станции (СМВ-2М) для регистрации суточного изменения геомагнитного поля Земли. По двум региональным профилям, пересскающим основные геоструктурные элементы Южной Армении, по маршрутам Гярд-Зейва-Кафан и Гехи-Арамазд-Горис были заложены ренеры для изучения аномалии векового хода магнитного поля Земли с помощью протонных магнитометров ПМ-5. В районе эпицентра (у с. Гярд) работала магинтотеллурическая лаборатория МТЛ-62, регистрирующая горизонтальные составляющие магнитного поля H_x и H_y . Кроме этого, по профилю Каджаран-Кафан были установлены 23 фундаментальные реперы, на которых проводились в течение 1969—71 гг. несколько циклов прецизионно-нивелировочных и гравиметрических исследований для изучения современных вертикальных движений земной коры и вариации силы тяжести по времени. В работах (2-1) подробно изложены результаты этих исследований.

В частности, было установлено, что за несколько часов до появления толчка или автершока наблюдается спад интенсивности магнитного поля, причем максимум убывания интенсивности поля наступает в момент появления толчка, затем после толчка наблюдается постепенное нарастание интенсивности магнитного поля и спустя 2—3 часа после толчка восстанавливается первоначальная интенсивность поля. В наших исследованиях убывание интенсивности магнитного поля во время толчка достигало от 12—15 до 25—30 гамм.

Пользуясь заданным распределением напряжений в районе очага, данными лабораторных исследований пъезомагнитных особенностей горных пород, слагающих изучаемый район, и имея параметры очага землетрясений, мы проводили расчет ожидаемого сейсмомагнитного эффекта и пришли к заключению, что при заданных параметрах, соответствующих Зангезурскому землетрясению 1968 г., максимальный эффект достигает 28 гамм и может быть уверенно зарегистрирован с помощью современной магнитометрической аппаратуры (2).

В 1969—70 гг. на региональном профиле Кафан—Гярд была обна ружена аномалия векового хода шириной в 8 км со средней интенсивностью поля в 20 гамм (в). Повторные наблюдения, выполненные в 1971 году (три цикла) и в октябре 1973 года, показали в целом изменение поля порядка несколько десятков гамм. При этом наблюдается как убывание, так и нарастание интенсивности поля T.

13 декабря 1973 года произошло землетрясение (K>10,8), эппцентр которого расположен непосредственно в зоне максимальных изменений поля △T.

Вторичное повторное измерение, выполненное с номощью протонных магинтометров ПМП-2A, показало убывание интенсивности поля на участке Чайкенд—Гехи.

Радиометрическими исследованиями установлено, что радиоактивность на грассе Кафан—Каджаран до появления подземных толчков

повышается на 25—30% по сравнению с естественным уровнем После прекращения подземных толчков радноактивность падает до обычноя своей нормы. Вариация силы тяжести на профиле Кафан—Каджаран за год уменьшалась на 0,3 мгл. Работами 1972 года по повторным намерениям на фундаментальных реперах профиля Кафан—Каджаран установлено, что в зоне Кафанского грабена вариация силы тяжести за год уменьшалась на 0,2 мгл, а на территории Каджаранского антиклипория сила тяжести увеличивалась на 0,3 мгл.

Таким образом, на современной стадии изучения геофизических полей с целью отыскания связи между указанными полями и землетрисением можно говорить о магнитных и радиометрических предвестинках землетрясений, но разработать какие-либо критерии пока еще представляется возможным.

Институт геофизики и инженерной сейсмологии Академии наук Армянской ССР

> 8. Գ. ՀԱԿՈՐՅԱՆ, Լ. Ա. ՀԱԽՎԵՐԳՅԱՆ Վ. Վ. ՆԱՀԱՊԵՏՅՍՆ, ԵՈՒ, Պ. ՍԿՈՎՈՐՈԳԿԻՆ

ներաշառժերը կանխագուշակելու նպատակով երկրաֆիզիկական տեղական դաշտերի փոփոխությունների առանձնաճատկությունների ուսումնասիրումը Հայկական ՍՍՀ սեյսմոակտիվ շրջաններում

Տեկտոնական բեկվածքներում, երը տեղի է ունենում լարումների կուտակում, տեղի ունի տեղական երկրաֆիզիկական դաշտերի փոփոխություն

Հոդվածում բերված է դաշտային, լաբորատոր-փորձնական, ինչպես նաև տեսական հաշվարկներ, տեղական բնույթի երկրաֆիզիկական դաշտերում ոպասվող «Էֆեկտների» համար, ինչպես երկրաշարժից առաջ, այնպես էլ հետու Կատարված է սեյսմոակտիվ շրջաններից վերցված ապարաների նմուչ-ների ֆիզիկական հատկությունների ուսումնասիրում բարձր ձնշման (100 կդեսմ՝) տակ և չերմաստիձանում (300 C), ստացված է նրանցից առաջացած Լֆեկտների մեծությունը։

Տեսական հաշվարկները ցույց են տալիս, որ Զանգեզուրի 1968 Ք. Եպեկենարոնային շրջանում ասեյսմոմադնիսական էֆեկտիս մեծությունը կարող է հասնել 28 գամմիւ

Ղափան — Քաջարան ռեդիոնալ պրոֆիլում 1969—73 թթ. Միջև ընկած ժամանակահատվածում կատարված կրկնվող չափումների ուսումնասիլու Այունները հայտնարերեցին ոդարային բայլի անոմալիա» 20 դամմի մեծու-Թյանւ

Մադիում հարանական Հետազոտությունները Ղափան-Քաջարան արդիում արևանական արժեցին, որ մինչ երկրաշարժի սկսվելը ռադիոական արժեցին, որ մինչ երկրաշարժի սկսվելը ռադիոականական արժեցին, իսկ դրավիմետրիական Ղափումները 1969—12 թթ. ընկած ժամանական արժեցին, իսկ դրավիմետրիական Ղափան-Քաջարան ալրոֆիլում ընկած ժամանականականում՝ փուփոխություն 0,3 միլիդալի մեծությամբ։

ЛИТЕРАТУРА — ЧРЦЧЦЪПЬРЗЯЬЪ

1 Ц. Г. Аколян, В. В. Нигалетян, Ю. П. Сковородкин, Материалы IV Всесоюзного совещания физические свойства горных пород при высоких термодинамических пара. метрах, Издание АН Грузпиской ССР, Тбилиси, 1974. ² Ц. Г. Акопян, В. В. Нагапетии Г. В. Рассанова, Ю. П. Сковородкин, «Известня АН Арм. ССР», Науки о Земле, 1 (1973). 3 .7. С. Безуглая, Л. А. Ахиердян, Результаты комплексного изучения Занго зурского землетрясения, Изд. АН Арм. ССР, Ереван, 1973. 1 Ц. Г. Аколян, В. В. На запетян, Ю. П. Сковородкин, Материалы Третьего Всесоюзного совещания. Физические спойства горных пород при высоких термодинамических параметрах. Изд-во «Наукова думка». Кнев, 1971. Ц Г Акопян, В. В. Нагапетян, Ю. П. Сковородкин, Г. В Расганова. Материалы IX конференции по вопросвы постоянного геомагнитного поля, магнетизма горных пород и палеомагнетизма, часть 2, Баку, 1973. • Ц Г Акопян, Л. А Ахвердян, Материалы VIII конференции по постоянному геомагнитному полю и палеомигнетизму, ч. П. Изд. «Наукова думка», Киев, 1970. ^г Ц. Г. Акопян, Т. А. Сирунян, Результаты комплексного изучения Зангезурского землетрясения. Изд. АН Арм. ССР. Ереван, 1973. В О М. Бирсуков, Л. А. Ахвердян, Результаты комплексного изучения Зангезурского землетрясения, Изд. АН Арм. ССР, Ереван, 1973. В О. М. Барсуков, Л. А. Ахвердян, Л. Н. Андронова, О. Г. Овсепян, Результаты комплексного изучения Зангезурского землетрясення, Изд. АН Арм. ССР, Ереван, 1973, 10 Д. Н. Рустанович, Результаты комплексного изучения Зангезурского землетрясения, Изд. АН Арм. ССР, Ереван, 1973.

LIX 1974

2

УДК 550.3;525.2

ГЕОФИЗИКА

А. Н. Левыкин, А. В. Арутюнян

Скорости упругих волн и плотность в карбонатных и изверженных кальцитсодержащих горных породах и лиственитах офиолитовых комплексов Армении при давлениях до 20 кб

(Представлено академиком АН Армянской ССР А. Г. Назаровым 21/VI 1974)

Основными источниками информации строения и состава земной коры и верхней мантии являются сейсмические данные, при интерпретации которых возникают значительные трудности. В связи с этим в последнее время сильно возрос интерес к исследованиям скоростей упругих воли и плотностей горных пород и минералов при высоких давлениях и температурах, как новых важных источников интерпретации. Изучение строения земной коры Армении, являющейся специфическим регионом, представляет особый интерес для геологии и геофизики. По современным представлениям офиолиты играют важную роль в происхождении и формировании земной коры континентов. Авторами были изучены ультразвуковым методом упругие свойства и плотность офиолитовых пород Армении. Офиолитовые выходы, из которых были отобраны образцы исследованных нами пород приурочены к глубийным Ереванским и Севано-Акеринским разломам, проходящим через всю территорию Армении с северо-запада на юго-восток.

В последнее время опубликован ряд работ по изучению скоростей распространения упругих волн в карбонатных породах ($^{1-1}$). Интерес к этим исследованиям обусловлен специфическим характером кривых зависимостей скоростей упругих воли от давления, связанный с перестройкой кристаллической структуры кальцита. Были получены количествению несогласующиеся результаты измерений. Несогласие объяснялось разными условиями опытов и петроструктурными различиями образцов. Исследовано влияние дисперстности (5) и температуры до 700°C ($^{6.7}$) на характер кривых $V_p = f(p)$ до 25 кб. Исследования скоростей упругих воли и плотности при давлениях в изверженных кальцит-содержащих породах и лиственитах не проводились.

Работа посвящена исследованию скоростей продольных v_p и поперечных упругих воли и плотности о при давлениях до 20 ко в карбонатных и карбонатсодержащих эффузивах и лиственитах. Измерения проводились в камере типа цилиндр-поршень по известной методике (в). Использовались образцы в виде цилиндра диаметром 17,5 и длиною 20 мм. Частота ультразвуковых колебаний составляла 1 и 3 Мгц. Некоторые данные изученных пород приведены в табл. 1 Общая пористость определялась пикнометрическим методом, а плотность гидростатическим взвешиванием.

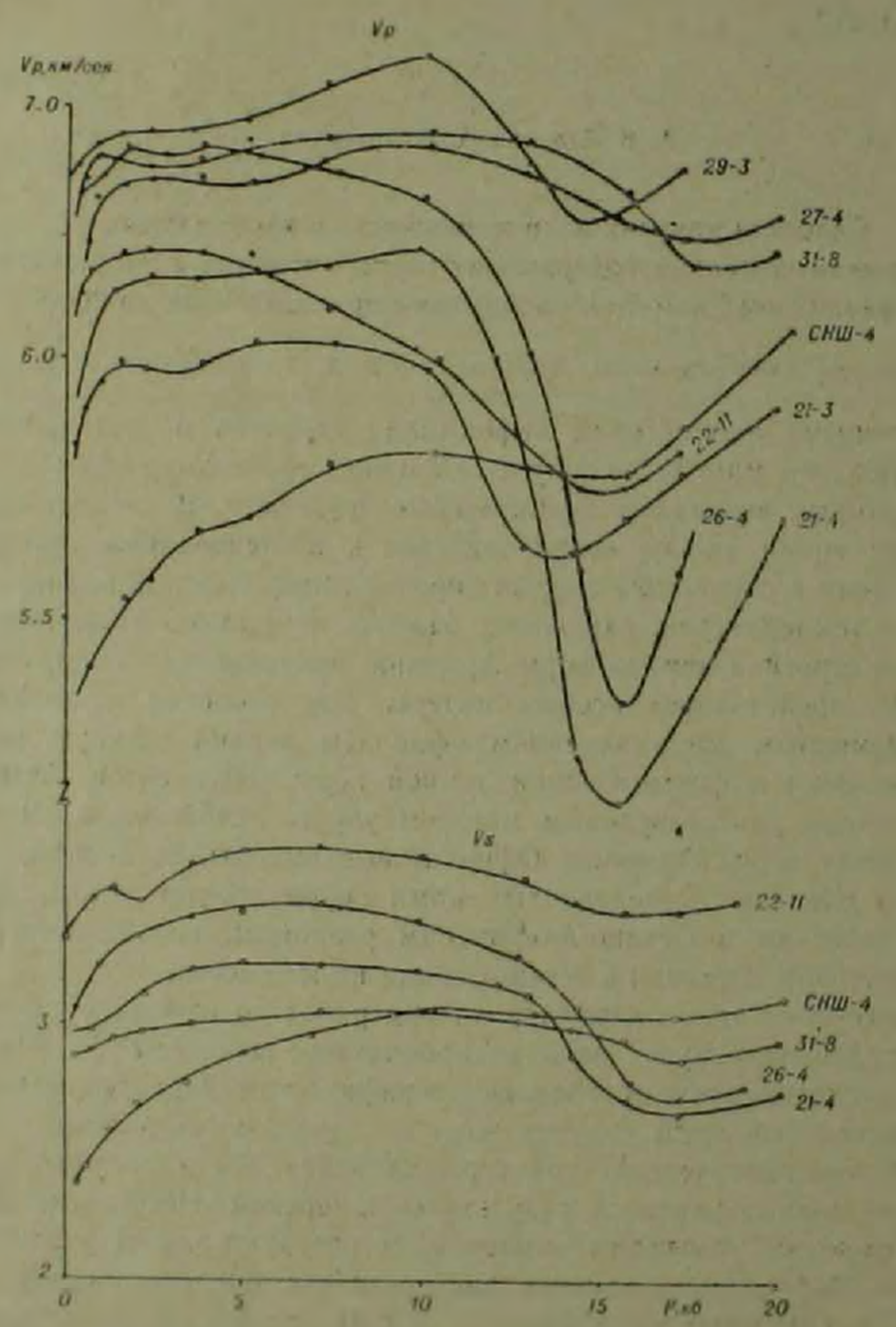


Рис I Влияние давления на скорости продольных и поперечных воли в образцах карбонатных (21—4, 26—4, 21—3) и изверженных кальцитсодержащих пород

Результаты исследований зависимости скоростей продольных и поперечных воли от давления показаны на рис. 1 Все кривые $v_p = I(p)$ имеют минимум в днапазоне 14-16.5 кб. Характер минимума меняется

от острого (обр. 26-4, 21-4) до слабого (обр. 31-8, 29-3 и др.) В начальной области давлении для всех пород наблюдается как обычпо значительный рост скорости. Для сбразцов 27-4, 31-8, 21-3, 26—4 замечены при давлениях 1—4 кб слабовырзженный тіп на кривых $v_p = \iota(p)$. Для большинства пород в диапазоне давлений от 2 до 10 кб скорости плавно и незначительно возрастают. Исключение представляют образцы 26-4, 21-3, и 22-11, для которых уже при давлениях 2-3 кб скорости начинают монотонно убывать. После 10 кб для всех образцов отмечается более резкое, особенно для карбонатных пород, убывание тр вплоть до минимума. После минимума для всех пород наблюдается рост скорости в пределах достигнутых дав лений. Кривые $v_s = f(p)$ также претериевают минимум при давлениях 15—17 кб. Этот минимум выражен не так резко, как для продольных воли. Все кривые $v_p = f(p)$ и $v_s = f(p)$ практически воспроизводимы при снятин давления. Это указывает на то, что явления приводящие к такому специфическому поведению скоростей с давлением, посят в основном обратимый характер. Для образцов 29-3, 21-3, 26-4 зямечено возрастание скоростей при спятии давления. Различия составляют не более 2-3%.

Таблица 1 Краткие структурно-петрографические данные пород при атмосферном давления

	LINOTHICIDE IN THE PROPERTY OF	Ямперальный сос- тап, %	Структура, средний размер зерен кальцита, мм
			Гранобластовая, 0,05 —
	·CO 4 · 4	Кальциг, 100	0,5, частично 0,2-1.0
21-3 криптокристаллический			Микрогранобластовая.
известняк 2	64 4 16	Кальцит, 100	0 05- 0.15
21—4 Мраморизованный из-			Криптокристалличесь ая,
нестняк 2	.67 5.3	Кальциг, 100	0.1-0.3
31 8 Мелкозеринстый мра		Ка-85, Гж 10,	Микрогранобластовая,
мориз чининый известняк 2	.90	Ke-5	0.05 - 0.15
СНШ-4 Миндалекаменный ба-		Па—46, Ка—15,	Гиалиповая, миндале-
	.56 7.6		камениая, 0.1-0.8
22 11 Щелочис-апальнимо-			Реликтовач, порфировая,
	-6114 - 1		
27—1 Кварц-карбонатизя по-	.00,471		Гранобластовая, 0,1 0,6
	.7111.8		
19-3 Измененный диабазо-	.,,,,,,,,,,,,,,,,,,,,,,,,,,,,,,,,,,,,,,	15, Амф-10. Пир-10	
1	.93 6.7		11. h Aufternation of the
нын порфирит 12	1401011	1 110-0, 140	

Амф--амфибол; Ан-анальцим; Гж-гидроокись железа. Ка-кальпит; Кв-кварц; Пир-пироксен; Пл-плагноклаз; Р-рудиме, Т. авг-титан-авгит; Эп энидот, Хл-хлорит, Вс-вулканическое стекло.

Листвениты представлены близкими по составу и структуре разностями кремнисто-карбонатных пород, имеют гранобластовую, петельчатую структуру. Они состоят из кальцита (частично железистого) и крипто кристаллического креминстого агрегата. Образец 1336 отличается большим содержанием кальцита. Объемный вес образцов составляет: 1354—2,81; 1336—2,84 и 710—2,94 г/см³. На рис. 2 показаны кривые записимости гр. и от давления для образцов лиственитов. Лиственнты характеризуются довольно высокими значениями скоростей упругих воли достигающих при давлениях 17-18 ко v_p-8 км/сек и свыше 4.5 км/сек. Для образцов 710 и 1354 во всем днапазоне давлений наблюдается значительный рост скоростей, а для образца 1336—незначительное падение. При давлениях 13—14 кб. для образцов 710 и 1336 кривые p-f(p) претерпевают минимум, затем круго возрастают.

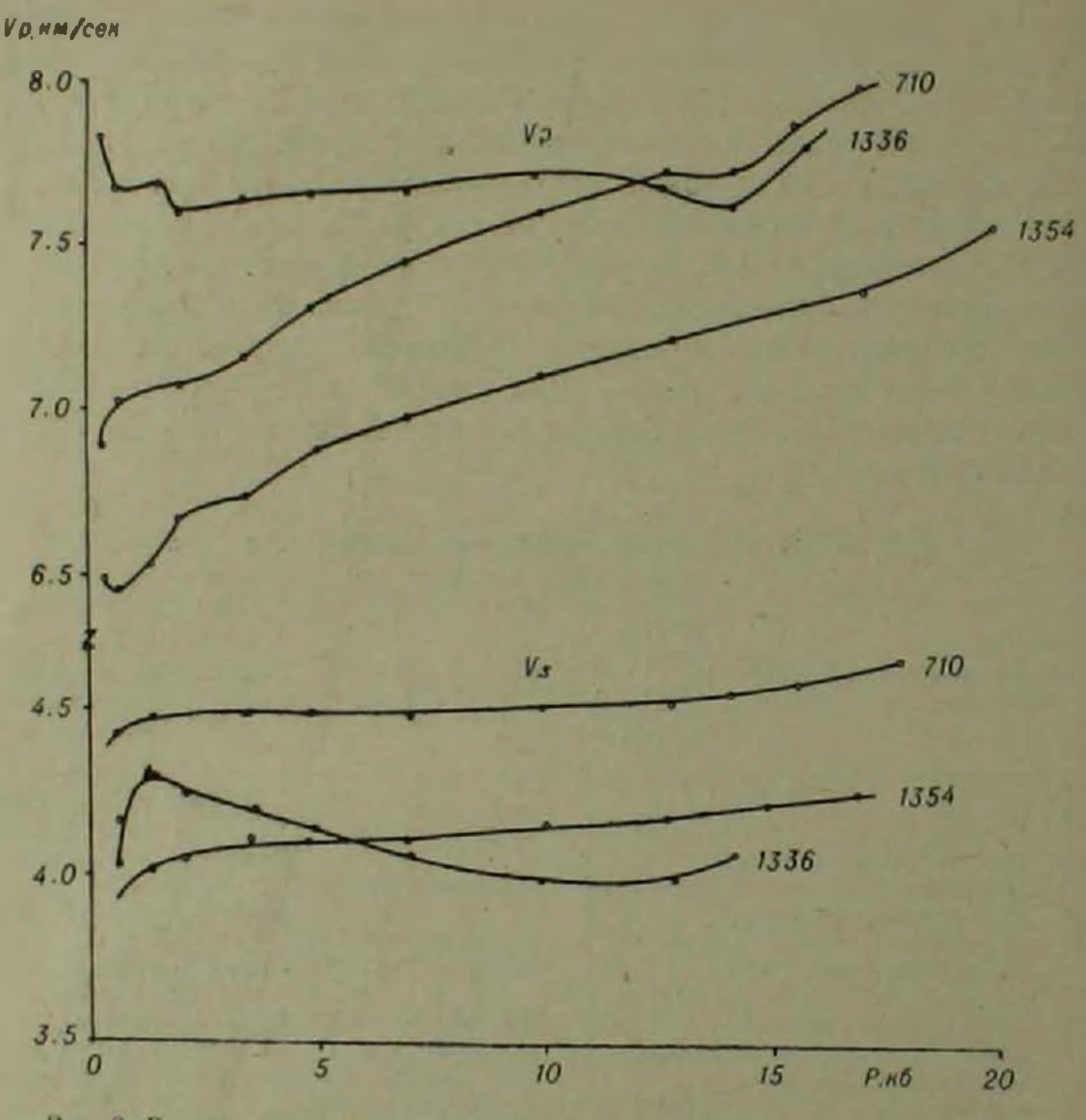


Рис. 2. Влияние давления на скорости продольных и поперечных упругих воли в образцах лиственитов

В естественных условиях горные породы как правило подвергаются воздействию флюндов, особенно в геосинклинальных зонах. Представляло интерес выяснение влияния водонасыщения на упругие свойства пород. Это имеет важное значение особенно для пористых и трещиноватых, а гакже для карбонатных пород. Водонасыщение проводилось способом вакуумирования многократно до постоянного веса. Оно составляло от общей пористости до 10—12% для изверженных пород, до 20—40% для карбонатных пород.

Водонасыщение оказывало различное влияние на скорости продольных воли и их зависимости от давления. Для большинства водо-

насыщенных образцов скорости существенно возрастали при пормальных условиях, а при возрастании давления скорости отличались пезначительно. Для части образцов базальтов и лиабазов (22—11 и 29—3 и др.) скорости значительно возрасли, а для карбонатных пород уменьшились во всем диапазоне давлений. На рис. 3 показаны кривые $v_p = t(p)$ для сухих и водонасыщенных образцов лиственита 1336, анальцимового базальта 22—11 и мраморизованного известняка 21—4. Из рисунка видно, что в водонасыщенном образце лиственита 1336

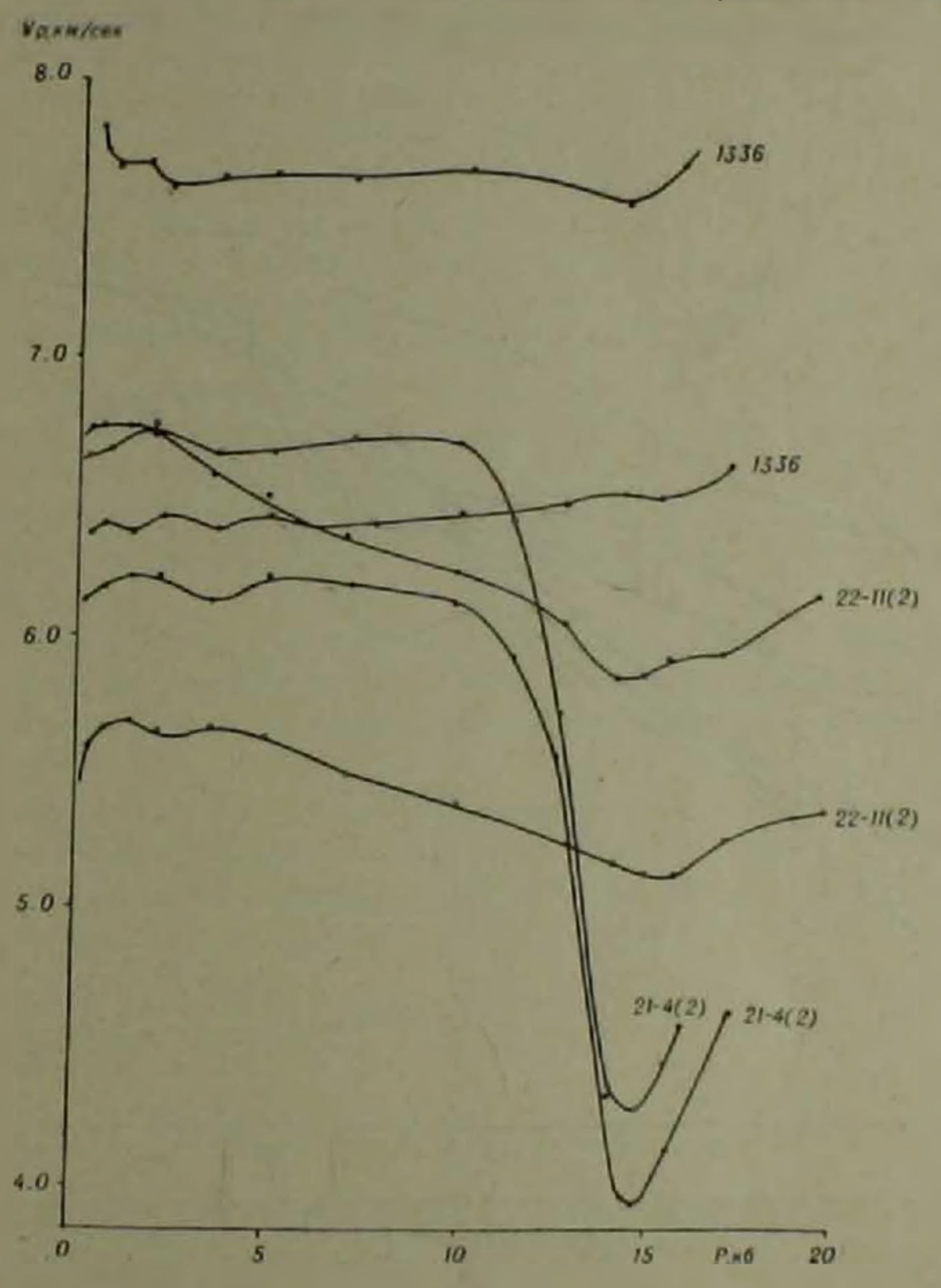


Рис. 3. Влияние давлении на скорости продольных воли в подоилсыщенных (черные кружки) и сухих образцах лиственита 1336, анальцимового ба зальта 22—11 и мраморизованного известника 21—4

скорость, оставаясь примерно постоянной во всем днапазоне давлений, понизилась от значения 7,65 (в сухом образце) до 6,40 км/сек. Для образца базальта 22—11 водонасыщение (% насыщения составлял=12%), наоборот, вызвало повышение скорости при давлении 1 кб

на 1 км/сек, а при 12 кб до 0,8 км/сек. Для образца водонасыщенного известияка 21-4 скорости упали по сравнению с сухими на 0,5 км/сек Кривые $v_p = f(p)$ для сухого и водонасыщенного образцов почти точно шли параллельно. Водонасыщение не вызывало существенных изменений величины скачка скорости и значений давлений, при которых наблюдается минимум на кривой $v_p = f(p)$.

На рис. 4 представлены кривые зависимости плотности— о от давления для исследованных образцов пород. Разброс значений — о при атмосферном давлении составлял 0,15 г/см³, а при давлении 15—

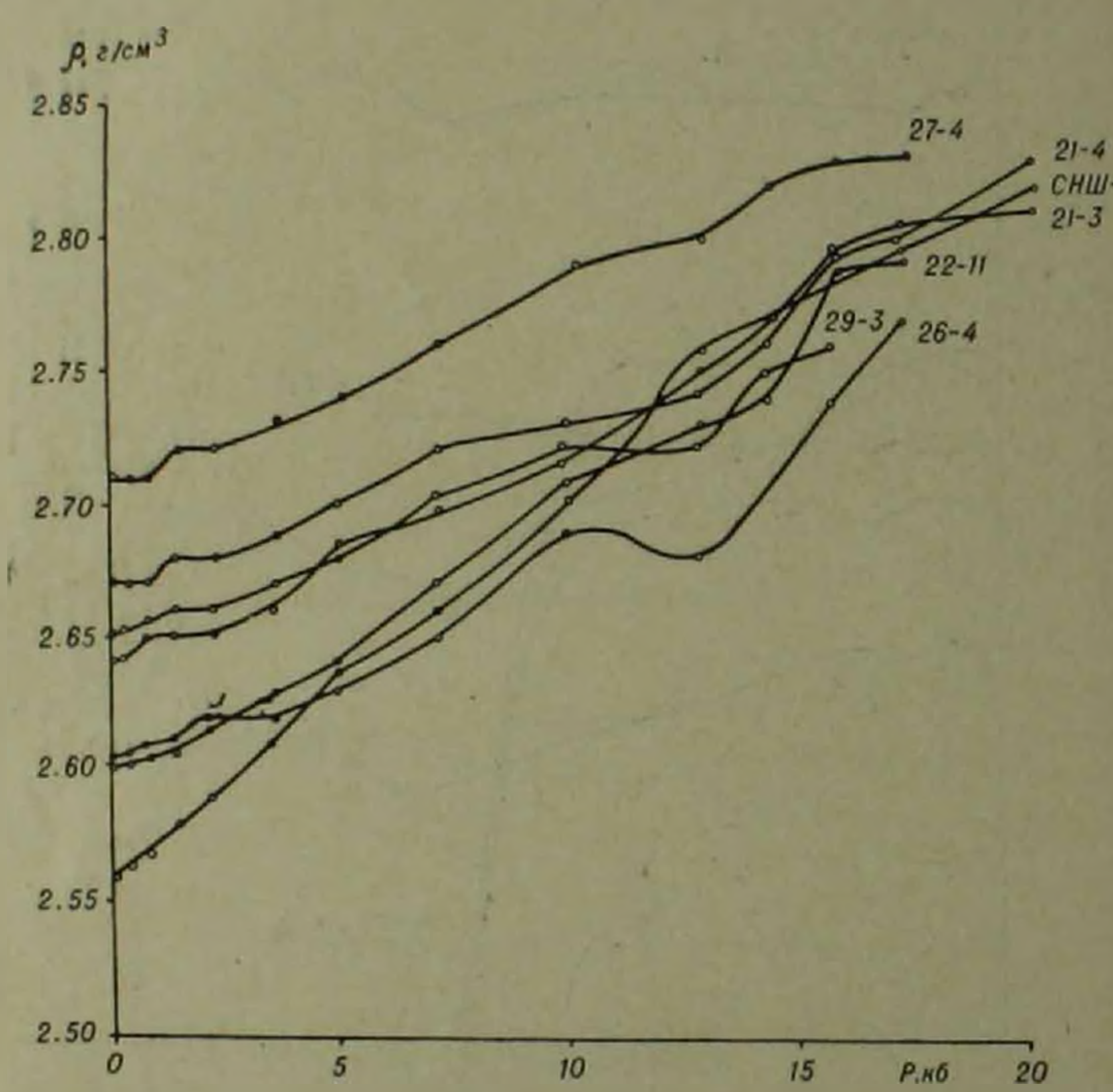


Рис 4. Влияние давления на плотность образцов карбонатных и карбонатсодержащих пород

18 кб. 0.06 г/см^в т. е. уменьшился в два с лишним раза. Наибольший рост плотности с давлением отмечается на наиболее пористых образцах (базальта СНШ-4 и др.). Для образцов 26—4, 29—3 и 22—11 и др в интервале давлений 14—16 кб. наблюдается значительное уменьшение эффекта давления, а для образца 26—4 и 29—3 даже разуплотнения ине. Интересно отметить, что эта область давлений разуплотнения согласуется с областью, в которой наблюдаются миньмумы скоростей.

Особенностью изученных пород является специфическое поведение скоростей и плотности при давлениях до 20 кб. В интервале давлений 12 кб не наблюдается обычного для горных пород роста скоростей. Исключение составляют образцы лиственитов 710, 1354 и базальта СНШ-4. Рост скорости для образца СНШ-4, по-видимому, можно объяснить значительной трещиноватостью и относительно малым (до 15%) содержанием кальцита. Образцы лиственитов претерпели в естественном залегании значительные пластические деформации, вызвавшие перестронку структуры породы. Это и обусловило наблюденные особенности упругих своиств лиственитов при высоких давлениях. В этом дианазоне давлений на величину и характер изменения v_p с давлением оказывают влияние два взаимосвязанных фактора: первыйперестройка структуры кальцита и второй-размер и форма зерен кальцита, на границах которых происходит концептрация напряжений. Влияние зернистости можно показать на примере трех образцов 21-3, 21-4 и 26-4. С увеличением размеров зерен (см. таблицу) растет величина v_p при давлении 5 $\kappa \delta$ 6,05; 6,30 и 6,65 $\kappa M/\epsilon \epsilon \kappa$ и скачок скоростей при давлениях 5 кб и 14-16 кб, 0,8, 1,1 и 1,5 км/сек соответственно. Увеличение степени дисперсности понижает скорость. То, что минимумы на кривых $\tau_p = f(p)$ для всех пород соответствуют одному и тому же давлению также, как и начало резкого спада и, (10 кб). указывает на превалирующее влияние процессов перестройки структуры кальцита.

Незначительное падение скоростей упругих воли, а также увеличение плотности в интервале давлений 2-4 кб в ряде образцов (21-3, 27-4, 26-4, 31-8) связано, по-видимому с переходом кальцита в арагонит (2).

Микроскопические исследования показали, что при водонасыщении образцов падение скоростей наблюдалось в основном в тех породах, в которых были обнаружены глинистые продукты, размягчение которых вызывало падение упругих свойств породы.

Институт физики Земли Академии наук СССР, Ереванский политехнический институт

Ա. Ի. լեզիկին, Ա. Վ. ՀԱՐՈՒԹՅՈՒՆՅԱՆ

Հայաստանի օֆիոլիտային գոտիներից ներկայացված լիստվենտներում, կարթոնատային և հրաբխածին կալցիտ պարունակող ապարներում առաձգական ալիքների տարածման արագությունը և խտությունը մինչև 20 կր ննչման պայմաններում

նրկրակեղնի և երկրապատյանի կազմի և կառուցվածքի ուսումնասիրու-Ցյունը դեոֆիդիկայի կարևորագույն պրորլեմներից մեկն էւ

Դաշտային պարմանմանարում ստացված տվյալներն առավել ձշդրիտ մեկ-- մե դորմական մեկան վարարատոր պարմաններում լեռնային ապարներ են-- ասննում են բարձր ձնշման և չերմաստիձանի, որի ընթացրում ուսումնասիրվում են նրանց առաձդական հատկությունները և խտության փոփոխու-Ոյունը։

Հողվածում տրված են Հայաստանի օֆիոլիտային դոտիներից վերցված լիստվենիտներում, կարբոնատային և կալցիտ պարունակող հրաբխածին ապարներում առաձգական ալիջների տարածման արագությունների և խտությունների փոփոխությունը 20 կբ ձնշման պայմաններում։

Նշված ապարների նկատմամբ հետաքրքրությունը պայմանավորված է առաձգական ալիքների տարածման յուրահատուկ վարքով, որը պայմանավորվում է կալցիտ միներալի առկայությամբ։ Կալցիտի բյուրեղական ցան-ցում ճնշման մեծացումից կատարվում է վերադասավորում 2—4 և 14—16,5 կր միջակայքերում, որը արտահայտվում է առաձգական ալիքների արա-գության վարրացումով, որի ինտենսիվությունը կախված է կալցիտ միներալի տոկոսային պարունակությունից և թյուրեղների մեծությունից։ Քյուրեղների մեծացումը հանգեցնում է արագության մեծացմանը։

շրանով, որ այդ ապարները թնական ալիքների հաժեմատական բարձր արանրանով, որ այդ ապարները թնական պայմաններում ենթարկվել են պլաստիկ դեֆորմացիաների։

Ուսումնասիրություննամբ)։

Ուսումնասիրությունները ցույց են տալիս, որ ջրահագեցած հրաբխային ապարներում առաձգական ալիքների արադությունը մեծանում է (որը բացատրվում է ապարներում ընդհակառակը փոքրանում է (որը բացատրվում է կաապարներում առաձգական ալիքների և ձեղքերի չրալցումով), իսկ կարբանաապարներում և ապարներում ընդհակառակը փոքրանում է (որը բացատրվում է կավային նյութի տարալուծմամբ)։

Հրչվան վրջացումից ապարների խտությունը մեծանում է, ընդ որում սրբան վրց է սկզբնական և վերջնական խտությունների տարբերությունը։ Որոշ ապարներում նկատվում է հաության թորչքաձև փոփոխություն ասաձգական ալիքների անկման միջակայքում։

ЛИТЕРАТУРА — ԳՐԱԿԱՆՈՒРВИՒՆ

¹ F. Birch, J. Geoph. Res. v. 65, 1083—1102 (1960). ² T. I. Arens, and Katz, J. Geoph. Res. v. 68, 529-537 (1963) ³ R. B. Gordon, and R. I. Vaisnys, J. Geoph. Res. v. 69, 4920—4922 (1964). ⁴ G. Simmons, and W. F. Brace, J. Geoph. Res. v. 70, 5649—5656 (1965). ⁵ C. J. Wang, J. Geoph. Res. v. 71, 14 (1966). ⁶ C. J. Wang, J. Geoph. Res. v. 73, 12 (1968). ¹ S. Kondo, K. Suito, Matsushima, J. Phys. Earth., 20, 245—250 (1972). ⁸ M. II. Воларович, А. И. Левыкин, ДАН СССР, № 6, 165 (1965). ⁸ КО. С Геншафт, Л. Д. Лившиц, КО. Н. Рябинин, ПМТФ, № 5, 1962.

LIX

1974

2

УДК 551 50

МЕТЕОРОЛОГИЯ

А. М. Мхитарян, А. С. Саакян

Определение турбулентного теплообмена на территории Армянской ССР

(Представлено академиком АН Армянской ССР Г. С. Давтином 25/111 1974)

Вертикальному турбулентному теплообмену подстилающей поверхности с атмосферой посвящено много работ (). Предложено несколько способов его расчета.

По аналогии с молекулярной диффузией, для определения турбулентного теплообмена (Р) можно использовать следующее упрощенное дифференциальное уравнение

$$P = -c_{p}\rho k \frac{\partial T}{\partial z}.$$
 (1)

Здесь c_p =0,24 кал/г град—удельная теплоемкость воздуха при постоянном давлении, р—плотность воздуха в r/cm^3 , k—коэффициент турбулентного обмена в cm^2/cek , dT/dz—вертикальный градиент температуры в град/см. Размерность $P-kan/cm^2$ сек.

Интегрируи уравнение (1) по z от z_0 до z_2 , полагая при этом постоянным в тонком приземном слое воздуха поток тепла в атмосферу, получаем

$$P = c_p \circ D \Delta T, \tag{2}$$

где

$$D = \left[\int \frac{dz}{k(z)} \right]^{-1} \tag{3}$$

представляет собой интегральную характеристику условий вертикального турбулентного теплообмена между подстилающей поверхностью и атмосферой и называется интегральным коэффициентом диффузии Здесь $\Delta T = T_n - T_2$ разность температур поверхности почвы (T_n) и ноздухя (T_2) , z_0 параметр шероховатости.

Если проинтегрировать (1) по z, подставляя в ней $k=k_1\cdot z$, где

коэффициент обмена на единичной высоте, получим

$$P = c_{p} p k_{1} \frac{T_{1} - T_{2}}{\ln\left(z_{2}/z_{1}\right)}, \tag{4}$$

причем для определения коэффициента турбулентного перемешивания пеобходимо располагать данными о величине скорости ветра на одной высоте u, о градиенте температуры ΔT и параметре шероховатости подстилающей поверхнести z_0 . Здесь T_1 и T_2 —температура воздуха на уровнях z_1 и z_2

При равновесных граднентах температуры в работе М. И. Будыко (1) предложена формула, которая дает удовлетворительные результаты при устоичивых состояниях атмосферы, при не очень больших значениях потока тепла и для шероховатостей порядка нескольких сантиметров.

Для условий неустойчивой стратификации приземного слоя атмосферы предложено много формул. В частности, А Р Константиновым (4) предложена формула

$$P = -c_{\rho} \alpha k_{\tau} \frac{\partial T}{\partial z}, \tag{5}$$

где $k_r = k \cdot \mathbf{2}_r$, k и k_r —коэффициенты обмена для количества движения и для тепла, α_r — некоторый коэффициент.

Можно, конечно, определить величину турбулентного теплообмена, как остаточный член уравнения теплового баланса (1), т. е.

$$P = R - (LE + B), \tag{6}$$

где R — радиационный баланс, LE — затрата тепла на испарение, B — теплообмен в почве. Но тогда возможные ошибки в расчетах остальных членов уравнения (6) будут суммироваться с расчетным значением турбулентного теплообмена. Поэтому возникает необходимость рассчитать турбулентный теплообмен независимым путем.

Для территории Армянской ССР составлены карты радиационного баланса (6), затрат тепла на испарение для отдельных месяцев и года, а также карты теплообмена в почве с апреля по октябрь.

Для расчета турбулентного теплообмена нами выбраны данные тех 50 метеостанций, для которых известны значения радиационного баланса (6). Такой выбор станций основан на том, что, во-первых, как показали расчеты, средние арифметические значения элементов по этим 50 станциям достаточно хорошо совпадают с результатами планиметрирования карт по всей территории Армянской ССР и, во-вторых после расчетов появляется возможность сравнивать результаты со значениями Р, полученными по уравнению теплового баланса (6).

Территория Армянской ССР—горная. Метеорологические элементы изменяются с высотой местности (7). Поэтому малочисленные данные градиентных наблюдений, полученные разными исследователями в различных районах республики в отдельные месяцы или годы, недостаточны для использования при расчетах турбулентного тепло

обмена Удобнее использовать формулу (2). В этой формуле значения АТ и D определялись по заранее рассчитанным связям, имеющим пид (8):

$$\Delta T = (a-1)T_{\bullet}^{\bullet} + b. \tag{7}$$

$$D = D_0 e^{\epsilon (H - H_0)}, \tag{8}$$

значения коэффициентов которых приведены в табл. Г. Данные о T_1 имеются в климатических справочниках, H—высота местности над уровнем моря, H_0 =0,45 км.

Сводка значении параметров формул (7) с коэффициентом корреляции r_1 и (8)— r_2

	V	VI	VII	VIII	IX	Среднее за
a b Ca Do c F2	1.22	1,21	1.10	1.12	1.04	1.13
	1.6	2,6	4.6	3.4	3.3	1.2
	0.99	0,98	0.97	0.98	0.98	0.99
	0.87	0,72	0.76	0.64	0.62	1.06
	0.69	0,69	0.53	0.65	0.59	0.60
	0.98	0,94	0.93	0.97	0.96	0.95

Результаты расчетов P по формуле (2), с использованием формул (7) и (8), приведены на рис. 1, во врезке, где показана связь P высотой местности (H).

Из рисупка видно, что в теплое время года турбулентный теплообмен с высотой увеличивается. Исключение составляет май, когда по высоты 2,4 км значение Р с высотой увеличивается, затем уменьшается. Это может быть объяснено тем, что с июня по сентябрь подстивющая поверхность всей территории Армянской ССР представляет еленый гравяной покров, в то время как в мае горные районы еще покрыты снегом.

В июне и июле турбулентный теплообмен увеличивается с высотой почти одинаковым граднентом, ~2 ккал/см² на 1 км высоты, от ккал/см²мес. в низких районах до 9,2—9,6 ккал/см²мес.—на высоте 3,2 км.

В течение мая-сентября с нанбольшим граднентом Р с высотон увеличивается в августе—2,5 ккал/см² на 1 км высоты. Это происходит от того, что в августе травяной покров уже полностью высыхает снячала в нижней зоне, тогда как на горах еще сохраняется зелень. Это означает, что в нижней зоне альбедо начинает увеличиваться раньше, следовательно, радиационный баланс, а вместе с инм и турбулентный теплообмен, уменьшается.

В сентябре градиент увеличения Р с высотой меньше (1,6 ккал/смна 1 км высоты), чем в другие месяцы, значения турбулентного теппообмена малы по всей территории в пределах исследуемых высот,
котя эти значения с высотой также увеличиваются.

Таким образом, если подстилающая поверхность не покрыта снегом, для территории Армянской ССР турбулентный теплообмен с высотой, как правило, увеличивается. Это увеличение связано с тем, что с высотой увеличивается радиационный баланс (причем в маедо высоты 2—2,5 км, затем уменьшается). Суммарное же испарение с увеличением высоты монотонно уменьшается. Теплообмен в почве мало

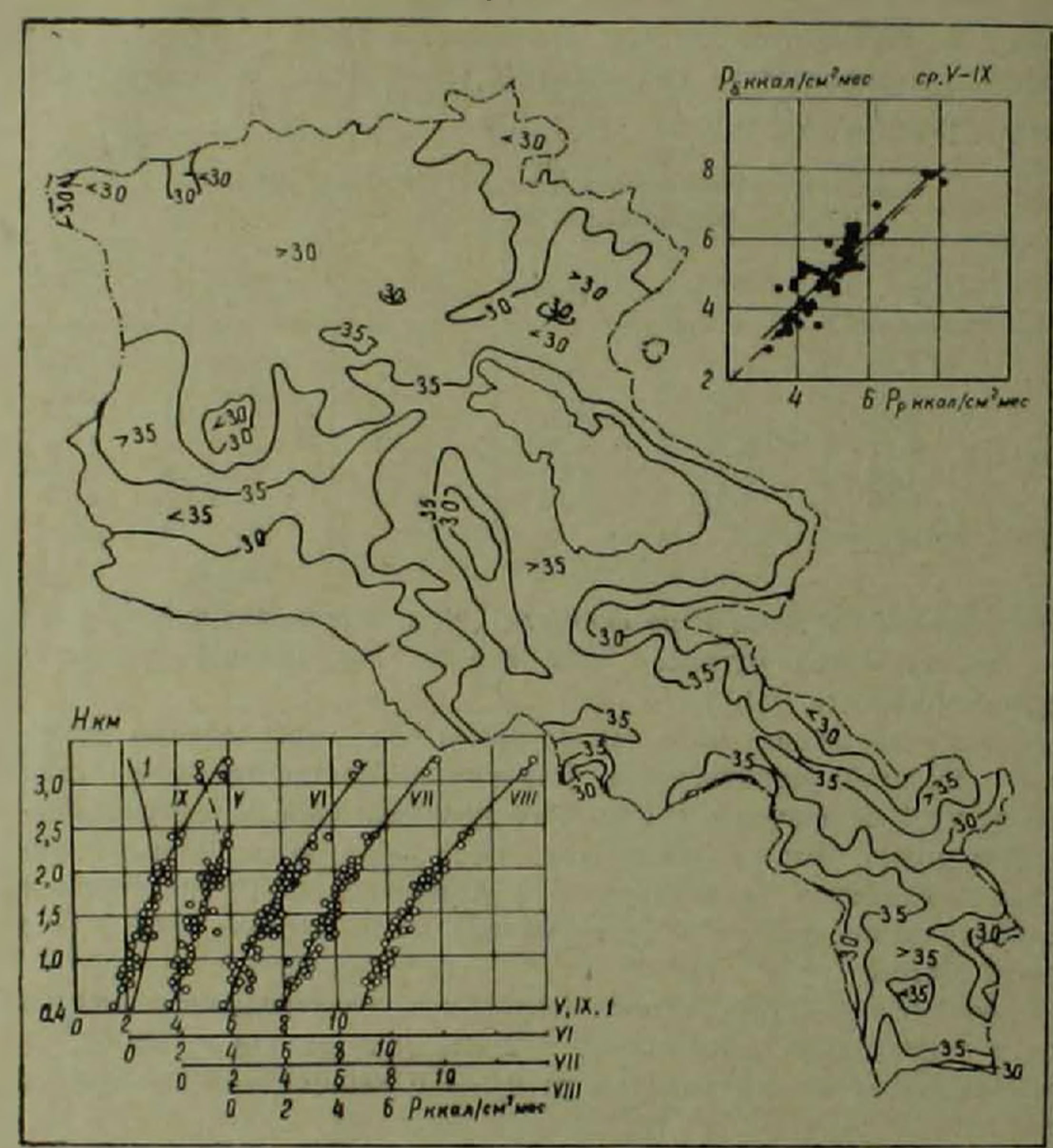


Рис. 1. Карта годовой суммы турбулентного теплообмена в ккал/см²год. Во врезках—зависимость турбулентного теплообмена (P) от высоты местности (H) по месяцам и в среднем на год (1), связь между значениями турбулентного теплообмена, рассчитанными по формуле (2)— P_{\parallel} и по балансу— P_6

влияет на турбулентный теплообмен, во-первых, из-за его малости. во-вторых, малой изменчивости с высотой.

Анализируя полученные результаты, приходим к выводу, что турбулентный теплообмен с высотой увеличивается быстрее, чем радиационный баланс. Связь турбулентного теплообмена с высотой с июня по сентябрь экспоненциальная, с коэффициентом корреляции 0,87 ≤ г = 0,98.

$$P = P_0 e^{G(H-H_0)}. \tag{9}$$

Здесь $I_{10}=0.45$ км; P_0 —значение P на высоте H_0 . Полученная связь применима в пределах 0.45 H 3.23 км.

Для мая зависимость представлена в виде прямой

$$P=3,7+1,12(H-H_0)$$
, (10)

в интернале высот 0,45—2,4 км.

В табл. 2 приведены значения параметров P_0 и C формулы (9), а также и коэффициента корреляции.

Зивчении парвметров формулы (9)

Таблица 2

	V.	VII	VIII	1X	Срезнее за V—IX
P _n	4.01	4.05	3.06 0.42	1.68	3.31
r	0.94	0.98	0.99	0.87	0.98

Полученные кривые—единые для всей территории республики, хотя в действительности точки, соответствующие сравнительно влажным северо-восточным районам, располагаются левее указанных кривых, а точки, соответствующие сравнительно сухим внутренним районам, наоборот, правее. Этот факт не отмечен на рисунке из-за его насыщенности условными знаками. Кроме того, указанное разделение хотя и четкое, но незначительное.

Чтобы определить, насколько рассчитанные значения турбулентного теплообмена ($P_{\rm p}$) коррелируют с его значениями, полученными как остаточный член уравнения теплового баланса ($P_{\rm b}$), получена их связь, приведенная во врезке рис. 1, где сопоставлены средние за майсентябрь значения $P_{\rm p}$ и $P_{\rm b}$. Связь достаточно тесная, с r = 0,89.

В результате расчетов построены карты распределения месячных сумм турбулентного теплообмена с атмосферой в *ккал/см*² по территории Армянской ССР для отмеченных месяцев, также для апреля по методу теплового баланса и для года. Для примера на рис. 1 показана карта годовой величины P.

Из анализа карт следует, что годовая сумма Р принимает большие значения на склонах горного Зангезура, предгорьях Араратской равшины, Севанском бассейне. Малые значения Р имеют место в инзинных районах, в годовой сумме—также на высокогорьях. При одинаковой высоте на северных влажных склонах годовая сумма Р

па 4—5 ккал/см² меньше, чем на южных, сухих склонах.

Наименьние значения турбулентного теплообмена в апреле (1—2 ккал/см²) отмечаются на высокогорной зоне. Малые значения имеются также в Араратской долине, Лори, долинном Зангезуре, Баграгишене (3—4 ккал/см²). В Шираке, предгорьях Араратской долины Севанском бассейне значения Р сравнительно больше—до 6 ккал/см².

Почти такая же картина наблюдается в мае, голько в низиница районах P принимает меньшие значения, чем на высокогорьях. Например, в Баграташене, Кафане P изменяется в пределах 4-4.5 ккал/см² а на Арагаце, в. г., Ератумбере—4.5-5 ккал/см². В Севанском бассейне, Шираке, горном Зангезуре величина P сравнительно большая—5-6 ккал/см². Меньшие значения P на высокогорьях обусловлены наличием снежного покрова в эти месяцы.

В июне, нюле августе и сентябре наибольшие значения турбулент ного теплообмена наблюдаются на высокогорной зоне, наименьшие в низинных ранонах.

Если для разных месяцев взять средние от значений гурбулентного теплообмена всех пятидесяти станций, получим, что Р имеет максимум в июле—6 ккал/см²мес., наименьшее значение в течение вышеуказанных месяцев приходится на сентябрь—3 ккал/см²мес.

Если взять средние значения P за упомянутые месяцы для каждон из пятидесяти станции, то получим минимум в Баграташене-3 ккал/см²мес., на высоте 450 м и максимум на высокогорной станции Арагац, —8 ккал/см²мес., на высоте 3230 м над уровнем моря.

Таковы характерные черты распределения турбулентного тепло обмена по территории Армянской ССР и пределы его изменений по высоте и по времени. Полученные результаты могут найти различные применения. В частности, ими можно пользоваться при составлении теплового баланса территории Армянской ССР.

Ереванский отдел ЗакНИГМИ

Ա. Մ. ՄԽԻԹԱՐՅԱՆ, Ա. Ս. ՍԱՀԱԿՅԱՆ

Տուբբուլենտ ջեռմափոխանակության ճաշվումը Հայկական ՍՍՀ տաբածքի նամաբ

սարումից անկախ մեβողով, Հայաստանի ամթողջ տարածքի համար։

Հաշվումները կատարվել են տուրբուլենտ ջերմափոխանակության պար զեցրած դիֆերենցիալ հավասարժան լուծումից ստացված բանաձևով։

Ստացած արդյունքները բավարարում են ջերմային հաշվեկչռի հավաուսումանը դործնական հաշվարկների համար ընդունելի ճշտությամբ։ Հաչվումներից պարզվել է, որ ամռան ամիսներին տուրբուլենտ ջերմա փոխանակությունը ըստ բարձրության աճում է։

Ստաղած արդյունքները կարելի է կիրառել տարբեր բնագավառներում. մասնավորասիս Հայաստանի տարածքի ջերմային հաշվեկշիոր կազմելիս։

ЛИТЕРАТУРА — ЭРЦИЦЪПЪРВОБЪ

17. Г. Берлянд, Распределение солнечной раднации на континентах, Гидрометеонидат, Л., 1961. М. И. Будыко, Тепловой баланс земной поверхности, Гидрометеонидат, Л., 1956. М. Р. Константинов, Л. И. Сакали, и др. Тепловой и водный режим территории Украины, Гидрометеонидат, Л., 1966. М. Р. Константинов, Испарение в природе, Гидрометеонидат, Л., 1968. В. Э. М. Шихлинский, Тепловой баланс Азербайджанской ССР, Изд. «Элм», Баку, 1969. Р. А. Карташян, А. М. Мхитарян, Раднационный режим территории Армянской ССР, Труды ЗакНИГМИ, вып. 39 (45), Л., 1970. Влаго- и теплообмен над водоемами и сушей в горных условиях, Под редакцием А. М. Мхитаряна, Труды ЗакНИГМИ, вып. 29 (35), 1969. А. М. Мхитарян, А. С. Саакян, ДАП АрмССР, т. 57, № 1 (1973).

LIX 1974

2

УДК 674.04

ДРЕВЕСИНОВЕДЕНИЕ

Г. А. Арзуманян

Удержания водных растворов антисептиков поверхностями древесин некоторых пород

(Представлено чл.-корр. АН Армянской ССР М. 3, Симоновым 13/VIII 1974)

Удержание раствора антисептика древесиной, определяемое кик количество его, которое может быть нанесено на ее поверхность, имеет большое значение для поверхностной обработки древесины Оно обычно исчисляется в миллилитрах или граммах раствора на 1 м² поверхности древесины.

Знание величин удержаний важно при назначении нужного уровня защищенности деревянных элементов.

Количество раствора, удерживаемое поверхностью древесний, обусловлено ее способностью смачиваться данным раствором и внитывать его при кратковременном контактировании с ним. Нанесение раствора антисептика на древесину при поверхностной ее обработке на практике производится один из трех способов: кратковременным погружением древесины в раствор антисептика, гидропультированием и обмазкой кистями (1).

При определении удержаний растворов поверхностями древесниз наиболее объективные показатели могут быть получены путем кратковременного погружения древесниы в раствор антисептика, так как при этом способе имеются лучшие условия для воспроизводимости результатов. Удержания при гидропультировании и обмазке кистями во многом зависят от положения обрабатываемой поверхности древесным (горизонтальная с нанесением раствора сверху, горизонтальная с нанесением раствора сверху, горизонтальная с нанесением раствора снизу, вертикальная, наклонная). Для целей практики значения удержаний при этих способах обработки могут быть получены из величины удержания при кратковременном погружении с умножением на коэффициент, учитывающий положение обрабатываемой поверхности и сам способ нанесения раствора.

Имеется небольшое количество работ, посвященных определению удержаний растворов антисентиков поверхностями древесии. Величина этого показателя неодинакова для древесии различных пород Так. А. И. Калинныш (2) отмечает, что еловая древесина при поверхностной

обработке воспринимает меньшее количество антисептика Сенежской пабораторией консервирования древесниы были установлены удержания растворов и натуральных маслянистых антисептиков при погружении, а также наиссепиях кистью и гидропультом (3). Э. К. Чурикова и Г. С. Томин (4) изучили влияние различных технологических параметров на удержание растворов антисептиков древесинами бука и тополя.

В настоящей работе была поставлена цель—определить удержапня водных растворов некоторых антисептиков боковыми и торцовыми
поверхностями древесии, наиболее широко используемых в строительстве древесных пород, а также зависимость удержания от продолжительности контактирования древесины с раствором антисептика,
состояния поверхности древесины (строганая, не строганая) и температуры раствора.

Опыты проводили с древесинами сосны, ели, пихты, бука восточпого, березы и тополя пирамидального. Образцы брали из ядра или спелой древесины. У сосны они были взяты и из заболони. Удержания определяли путем кратковременного погружения образцов в растворы антисептиков и взвешиванием образцов до и после погружения. Образцы для определения удержаний радиальной и тангенциальной поверхностями имели размеры 5×40×100 мм (последний размер вдоль волокон). Они вырезались так, чтобы от каждой породы один образцы имели на пластих радиальные, а другие-тангенциальные поверхности. Для определения удержаний торцовыми поверхностями были взяты стандартные образцы (20×20×10 мм) для определення водопоглощення (5). На торцовые поверхности образцов, предназначенных для определения удержаний боковыми поверхностями, и на боковые поверхности образцов, предназначенных для определения удержаний торцовыми поверхностими, наносилось водонепроницаемое покрытие. В каждом варианте было взято 5-6 образцов. Влажность образцов всех пород была около 8%.

Определение зависимости удержания от продолжительности нахожления древесины в растворе производили с образцами со строгаными радиальными поверхностями. Был взят 3%-ный раствор фтористого ватрия, имеющий гемпературу 20 С. Образцы выдерживали в растворе 1, 10, 30, 60, 120 и 180 сек. На рис. 1 изображены кривые удержаний. Здесь и инже удержания даны в граммах раствора на 1 м² поверхности древесины. Из рисунка видно, что наибольшее удержание показала сосновая заболонь. При выдержке 180 сек оно около двух раз больше удержания соснового ядра. Последнее оказалось наименьшим из всех полученных значений удержаний. На втором месте после сосновой заболони находится древесина тополя. Древесины остальных пород показали более или менее близкие друг к другу значения удержаний.

Количество раствора, удерживаемое боковой поверхностью древесины при выдержке в I сек условно может быть принято за то количество, которое требуется для смачивания поверхности древесины данным раствором. При дальнешей выдержке удержание возрастает благодаря каниллярному поглощению. К 180-секундной выдержке величина удер-

жания почти у всех пород увеличивается около двух раз по сравнению с удержанием при 1-секундной выдержке (рис. 1).

В табл. 1 приведены значения удержаний 3%-ного раствора фтористого натрия и 10%-ного раствора препарата ББК-3 (смесь десятиводной буры и борной кислоты в соотношении—1,52—1) строгаными и не строгаными радиальными и тангенциальными, а также торцовыми новерхностями древесии упомянутых пород при выдержке 60 сек. На

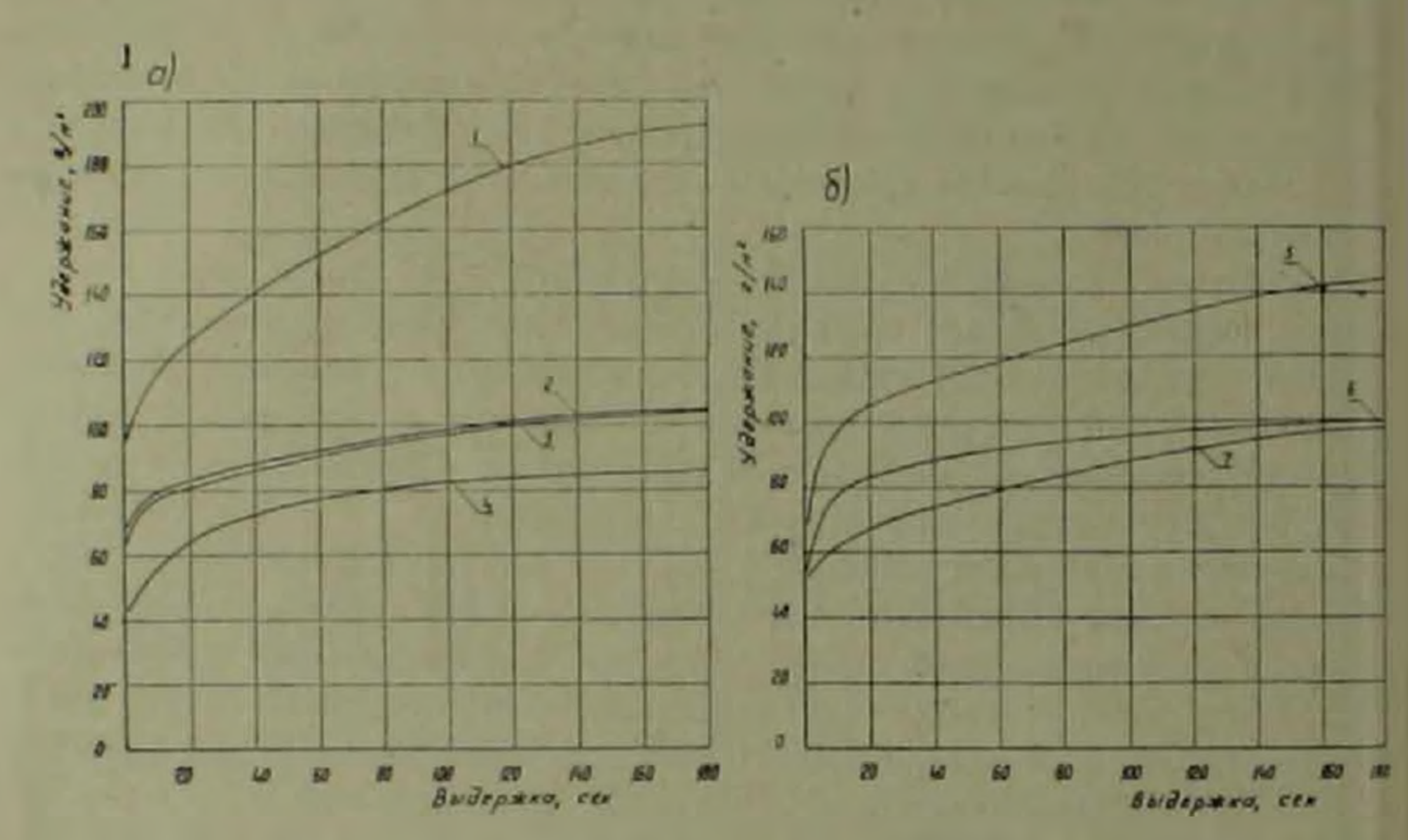


Рис. I. Зависимость удержаний раствора фтористог и натрия радиальными строгаными поверхностями древесии некоторых хвойных (а) и лиственных (б) пород от продолжительности выдержки при кратковременном погружения.

/—сосна, заболонь; 2—пихта, 3—ель; 4—сосна, ядро; 5—тополь; 6—береза; 7—бук

таблицы видно, что разница между удержаниями радиальной и тангенциальной поверхностями у всех пород небольшая и среднее их значение может быть принято в качестве показателя удержания боковой поверхностью древесины данной породы. Удержания не строгаными поверхпостями почти в два раза, а у соснового ядра более, чем в два раза, больше удержании строгаными поверхностями. Удержания торцовыми поверхностями в несколько раз больше удержаний боковыми поверх ностями. При обработке раствором фтористого натрия наибольшее превышение удержания торцовой поверхностью над удержанием боковой поверхностью отмечается у заболони сосны. В случае строганов поверхности оно больше в 5,28 раза, а в случае не строганой-в 2,72 раза. Наименьшее превышение отмечается у ели. Оно составляет соответственно в 3,30 и 1,87 раза. При обработке раствором ББК-3 нанбольшее превышение удержания торцовой поверхностью над удержаннем боковой поверхностью отмечается также у заболоны сосны. В случае строганой поверхности оно больше в 5,22 разв, в случае не стро

ганой—в 2,57 раза. Наименьшее превышение также у ели—соответственпо 3,14 и 1,54 раза.

Определение зависимости удержаний от температуры раствора производили при выдержке 60 сек и температурах растворов 0, 20, 50 и

Удержание 3%-ного раствора фтористого натрия и 10%-исто раствора препарата ББК-3 поверхностями древесни (выдержка 60 сек температура раствора 20°C)

	Paci	որ փո	горист	ro list	Раствор препарата ББК 3					
Породы	строганая поверхнисть		не строга- ная поверх- иссть			o el suncir		ная почерх- и сть		
	рияналь.	Tanten- IIND TENDR	ракилли	Tanken.	Topic Ba	радналь-	танген-	радналь-	Talli Cil- Il Haarinan	кряс нао
Сосна, заболонь	149	155	288	303	802	140	137	282	294	720
Сосна, ялро	77	83	211	200	386	85	86	218	200	392
Ель	90	98	162	170	310	84	88	178	172	270
Пихта	91	108	211	214	500	89	97	200	212	495
Бук	78	78	151	160	365	82	83	164	170	365
Берёза	52	103	190	212	460	96	102	187	220	450
Тополь	119	101	205	191	508	115	117	215	203	503

90°С. Определяли удержания раднальными и торцовыми поверхностями. В табл. 2 приведены результаты этих определений. Они показывают, что удержания раднальной и торцовой поверхностями при температуре 90 С почти всегда больше, чем при 50°С. В этом определенную роль, вероятно, играет падение вязкости раствора с увеличением температуры. Иногла отмеченная разница оказывается существенной, например, у бука. Лишь у заболони сосны эта разница незначительная.

Таблица 2 Удержания растворов аптисентиков раднальными (строгаными) и горцовыми поверхностями древесины при различных гемпературах растворов и выдержке 60 сек

	1%-	1%-ный раствор фтористо натрия							10%-ный раствор препарата ББК-3							
Породы	радиальная строганая			торцовая			раднальная строганая			торцовая						
	0,	200	50°	90°	0	20~	50°	900	00	20°	50°	900	00	20°	50°	90°
Сосна, забо- лонь Сосна, я гро Ель Пихта Бук Береза Тополь	150	149 77 90 91 78 92	118 76 76 84 94 76 120	118 87 96 98 111 91	890 384 280 570 430 480	802 386 310 500 365 460 508	450	483 430 428	115 109 106	140 85 84 89 82 96 115	116 83 70 87 90 86 115	118 98 92 94 110 94 128	936 378 306 550 432 535 50	770 392 270 495 365 450 503	680 415 303 378 390 475 575	720 490 430 455 496 600 720

Несколько неожиданным оказалось то, что при температуре раствора 0 С в большинстве случаев наблюдается повышение удержания по сравнению с удержаниями при 20 и 50 С, а в отдельных случаях и при 90 С. Некоторое падение удержаний при этих температурах, по-видимому, должно быть объясиено тем, что при данных температурах может иметь место частичная закупорка капилляров содержащимися в клетках пекоторыми веществами, приводящая к снижению капиллярного поглощения. Дальнейшее новышение температуры до 90 С приводит к расплавлению этих веществ, раскрытию капилляров и облегчению проникновения раствора, аналогично тому, как нагревание древесины из соснового ядра до температуры выше 100°С (не более 120 С) делает се проницаемой поперек волокон для раствора фтористого натрия (b).

В заключение отметим, что удержания при погружении с 60 секундной выдержкой в наших опытах оказались наиболее близкими к значениям удержаний, полученным при однократном наиссении на горизонтальную поверхность древесины раствора антисептика кистью.

Армянский НИИ строительных материалов н сооружений Госстроя Армянской ССР

Գ. Ա. ԱՐՋՈՒՄԱՆՑԱՆ

Մի քանի ծառատեսակների բնափայտի մակերեսների վրա նականեխիչների ջրային լուծույթների պանումը

ւրը հայտանյունի մակերեսի՝ իր վրա Հականնաիչների լուծույնների պահեր ու Հատկունյունը կարևոր նշանակունյուն ունի փայտանյունը Հականնկսիչհերով մակերեսից մշակելու եղանակի համար։

կարևատև առնչվելու դեպրում վերջինս ներծծելու հատկությամբ։

որոշ ականեիլի իրևուտակների վրայտանյությունում առավել լայն կիրաորոշ ակաների իրենց վրա որոշ ականեիլի ների լուծույթների այաջնյու Հատկության որոշումը։

Փորձերը կատարվել են սոճու, եղևնու, կուննու, արևելյան հաճարի, կե ու և բրդաձև րարդու փայտանյութերի հետո

Հուծույնն իր վրա պահելու փայտանյունի մակերեսի հատկունյունն որոշվում էր նմուշները հականեխիչների լուծույնների մեջ կարձատև սուղման և նմուշների կշիռը մինչև սուզումը և դրանից հետո որոշելու միջոցով։

առկայության դեպքում։ Օգտադործվել են նատրիումի կարրի մակերեսների առկայության դեպքում։ Օգտադործվել են նատրիումի կարրիդի 3%-անոց և ԲԲԹ-—3 պրեպարատի 10%-անոց յուծույթներու

նկ. 1-ում ցույց է տրված շառավղային մակերեսների վրա նատրիումի ֆտորիդի 3%-անոց լուծույքքի պահվող թանակը (դ/մ²) կախված նմուշների լուծույքում դտնվելու տևողությունից։ հղյուսակ 1-ում բերված են ռանդած և ոչ ռանդած, չառավդային և տադենցիալ մակերեսների, ինչպես նաև ձակատային մակերեսի վրա Նիված յուծույքնները պահելու ցուցանիչները։

Աղյուսակ 2-ում բերված են այդ Հատկության ցուցանիշները լուծույքիների տարրեր ջերմաստիձանների դեպքում։

ЛИТЕРАТУРА — ЪРЦЧЦЪПЪРЗПЪЪ

¹ ГОСТ 16416—70. Древесина. Способы поверхностной обработки антисептиками. ² 1 И Калинный, Противогинлостная защита лесоматерналов в сельсиом строительстве, Изд. АН СССР, М. 1958 ³ С. Н. Горшин, И. Г. Крапивина, Б. И. Телятникова, Консервирование древесины (обзор), Всесоюзи, научно исслед, и проекти, ин-т экономики, организ, упр. производ и информации по леси., целлюлозно-бумажи, и деревообр, промышленности, М., 1972. ⁴ Э. К. Чурикова, Г. С. Томин, Вопросы защиты дречесины, Тезисы докл. Киевской научно-технич, конференции, ч. 11, Киев, 1972. ⁵ ГОСТ 16483.20—72. Древесина, Методы определения водопоглошения ⁶ Е. В. Харук, Проинцаемость древесины некоторых хвойных пород. Красноярское книжное издательство, 1969.

2

NAK 612 015.32+616.33

БИОХИМИЯ

Академик АН Армянской ССР Г. Х. Бунятян, К. Г. Карагезян, В. Б. Егян, О. М. Амирханян, Г. А. Туршян, Л. Т. Амирханян, Г. Е. Аколян

Сдвиги некоторых сторон фосфолипидного и углеводно-азотистого обмена в мозге собаки при аллоксановом диабете

(Представлено 17/V 1974)

Диабет характеризуется развитием глубоких метаболических расстройств, усугубляющихся при критических формах заболевания.

Известно о важной функциональной роли $\Phi \Pi^*$ и аминокислот, выступающих в качестве резервов энергии для нервной ткапи ($^{1-3}$). В связи с этим представляло интерес изучить особенности изменении в содержании отдельных фракций $\Phi \Pi$ и их суммы, Γ , $K\Gamma K$, ΠK , ΓT , Π и M при аллоксановом днабете. Особый интерес представляло выявление в головном мозге млекопитающих механизмов, обусловливающих высокий уровень M (4,5), что не может рассматриваться здесь как результат пейтрализации аммиака, ввиду отсутствия в мозге ферментных систем, катализирующих образование Π .

В качестве хронической экспериментальной модели, позволяющей наблюдение за прижизненно совершающимися метаболическими процессами в головном мозге, был использован метод ABP (6). Исследования были проведены на 3-х собаках-самцах, предварительно оперированных по выведению общей сонной артерии в кожный валик и односторонней изоляции наружной яремной вены от всех своих ответвлений, кроме задне-лицевой ветви, сообщающейся с поперечными синусами мозга. Пробы крови из наружной яремной вены брали на 14—17 сек позже, чем из сонной артерии. Указанный интервал времени соответствовал периоду полной циркуляции крови в головном мозге (7).

Диабет вызывали путем внутривенных инъекций раствора аллоксана, приготовленного на ацетатном буфере (РН 4,5) из расчета 70— 90 мг/кг живого веса (8).

[•] ФЛ —фосфолипиды, Г—глюкоза, КГК—кетоглютаровая кислота, ПК—пировиноградияя кислота, ГТ—глютамии, Ц—цитруллии, М—моченина, АВР—артерио-венозная разница, К НФЛ/КФЛ—коэффициент отношения суммы нейтральных ФЛ к сумме кислых ФЛ.

Количественное определение ФЛ производили по Маринетти и Стотцу (⁹), в модификации Смирнова и сотрудников (¹⁰) и Карагезяна (¹¹), Г—по Дюмазеру, КГК и ПК—по Тарве (¹²), аммиака ГТ после его 10 минутного гидролиза в 2и, растворе серной кислоты и М после се 30 минутного ферментативного расщепления—по Гирамихи (¹⁸).

Результаты контрольной серии исследований установили отсутствие АВР в содержании ФЛ цельной крови и в величине К НФЛ/КФЛ в артериальной и венозной крови, составлявшими соответственно 10,2 и 10,1.

При диабете (табл. 1), характеризующемся картиной резкого истощения (потеря первоначального веса примерно на 60%), имеет место развитие отрицательной АВР в общем содержании ФЛ (повышение уровня указанных соединений в крови, питающей головной мозг на 43%. а в крови, оттекающей от него, в значительно большей степени—на 65%). Описанные артерновенозные изменения в содержании ФЛ при днабете сопровождаются чувствительными сдвигами в количественных соотношениях между различными представителями их, чему, по современным воззрениям (14.15), придается важное значение в обеспечении функциональной активности данного органа, главным образом ЦНС. Согласно полученным результатам, при днабете отмечается уменьшение величины изученного К НФЛ/КФЛ в крови, питающей головной мозг, приблизительно в 2,5 раза (от 10,2 до 4,2) и в крови, оттекающей от него, в 1,5 раза (от 10,1 до 7,0). Эти данные согласуются с результатами ранее проведенных исследований (16), свидетельствующими о заметном уменьшении общей суммы ФЛ в головном мозге белых крыс с аллоксановым днабетом, главным образом за счет НФЛ. Однако, в отличие от описанных сдвигов в крови, в мозговой ткани отмечается стабилизация изученных К НФЛ/КФЛ в пределах контрольных показателей. Это еще раз подчеркивает важное значение фактора постоянства не только в качественном, но и количественном наборе ФЛ в обеспечении функциональной активности головного мозга, поддерживаемой с помощью соответствующих компенсаторно-приспособительных механизмов.

Наряду с возрастанием абсолютного уровия ФЛ в крови обенх систем при диабете процентное содержание НФЛ в общей сумме ФЛ оказывается чувствительно пониженным, а «удельный вес» КФЛ, наоборот, заметно возросшим. Описанные артерновенозные сдвиги в количестве ФЛ при отмечаемом кризисе эпергетического баланса являются в основном следствием активирования в головном мозге процессов высвобождения их из комплексов с белками и углеводами, но не результатом интенсификации процессов фосфатидогенеза. Дальнейшая судьба освобождающихся из указанных комплексов ФЛ, главным образом НФЛ, предопределяется с одной стороны, частичным выделением их в кровь, оттекающую от головного мозга, с другой—последующим вовлечением указанных соединений в реакции липолиза, в качестве потенциальных источников энергии, что и следует считать основной причиной убыли НФЛ в мозговой ткани, отмеченной в ранее проведенных иссле-

дованиях Карагезяна (17). Активирование липолитических реакций в головном мозге при диабете следует расцепивать как повышение функциональной деятельности соответствующих фосфолиназ, катализирующих процесс расщепления указанных соединений и создающих благо-приятные обстоятельства к использованию некоторых продуктов гидро-

Таблица I Количественные изменения в содержании липидного фосфора (в мкг/мл), глюкоты, т-кетоглютаровой и инровиноградной кислот, глютамина, цитруллина и мочевины (в мг%) в крови сонной артерии и наружной яремной вены при вллоксановом диабете у собак

Показателн	Конт	роль (40))	Днабет (40)				
	сонная	яремная вена	величи-	сонная	яремная вена	величи- на АВР		
неиденти фицированный		7						
ФЛ (НФЛ)	1.5	1.3	+0.2	6.9	5.4	+ 1.5		
янзолецитины (ЛЛ)	5.0	4.6	-1-0.4	9.5	11.8	2.3		
монофос фоннозитиды								
(MФH)	2,5	2.6	-0.1	8,1	5,9	+ 2.2		
сфингомнежины (СФМ)	13.5	12.9	+0.6	16.6	20.7	- 4.1		
вецитины (Л)	52.3	51.3	+1.0	64.4	77.5	-13.1		
серинфосфолипиды								
(СФЛ)	3.5	3.6	-0.1	8.3	6.0	2,3		
этаноламинфосфолипиды								
(ЭФЛ)	6.8	7,4	-0.6	7.8	10.8	- 3.0		
суммарные ФЛ	85.1	83.7	1.4	121.6	138.1	-16.5		
сумма НФЛ (ЛЛ—		1,70						
⊹СФМ - Л+ ЭФЛ)	77.6	76.2	+1.4	98,3	120.8	-22.5		
сумма КФЛ (НФЛ—			24000000					
⊢МФИ ∔СФЛ)	7.5	7.5	0	23.3	17.3	+ 6.0		
К НФЛ/КФЛ	10-2	10.1	+0.1	4.2	7.0	- 2,8		
ликоза	70.0	62.0	-18.0	422.0	425.0	- 3.0		
кетоглютаровая			141446					
кислота	0.16	0.15	+0.01	0.41	0.51	- 0,1		
тировиноградная		41 1	100000					
кислота	0.56	0.53	+0.03	0.82	1.11	- 0.29		
лютамин	5.05	4,93	-0.12	13.07	14.02	- 0.95		
цитруллин	2.37	2.22	-0.15	1.66	1.62	+ 0,04		
мочевина	14.22	14.70	-0.48	41.65	43.51	1.86		

^{*} Знаки + и — означают—положительная и отрицательная ABP соответственно, т. е. количественное превилирование исследуемого вещества либо в крови, питающей головной мозг, либо в крови, оттекающей от него.

лиза их (глицерин, жирные кислоты) в окислительных реакциях нервной гкани в условиях дефицита основного энергетического субстрата головного мозга—Г. Усиление липолитических реакций при диабете, согласно мнению Бунятяна (18), в определенной степени обусловливается стимулированием деятельности адреналовой системы на фоне угнетения функции лангергансового аппарата; при этом имеется в виду срыв существующего в норме функционального уровновешивания между указанными системами. Необходимость в использовании побочных источников энергии мозгом при диабете продиктована расстройствами

систем, обеспечивающих реакции утилизации глюкозы нервными клетками. Об этом в частности свидетельствуют результаты исследований Егян и сотрудников, приведенные в настоящей работе, согласно которым при днабете имеет место чрезвычайно резкое (более, чем в 6 раз) повышение уровня Г в крови обеих исследованных систем, составляюшего соответственно для крови, питающей головной мозг и оттекающей от него 422,0 и 425,0 мг%. Следовательно, можно заключить, что в условиях максимального ограничения возможностей потребления Г головным мозгом при днабете происходит компенсаторное вовлечение в окислительные процессы ряда потенциальных источников энергин в том числе и отмеченных выше метаболитов фосфолипидного обмена. Вышесказанное в определенной степени объясняет и отмечавшуюся в настоящем исследовании картину отрицательной АВР в содержании КГК и ПК. По-видимому, описанный сдвиг в содержании указанных соединений, можно рассматривать как косвенное доказательство к имеющей место интенсификации процессов распада липоидов и белков в мозговой ткани на фоне острого дефицита основного энергетического субстрата ее-Г. Аналогичным образом могут быть интерпретированы и результаты по количественному возрастанию содержания ГТ в крови в общем и особенно в крови, оттекающей от головного мозга (приблизительно в 2,5 раза по сравнению с контролем). По всей вероятности. отмечающееся при диабете резкое истощение организма является следствием чувствительного активирования процессов протеолиза, в частпости в головном мозге, с последующим вовлечением свободных аминокислот в реакции энергетического обмена, сопровождающиеся выходом большого количества аммиака, нейтрализирующегося частично путем образования ГТ, который в определенных количествах выделяется мозгом в оттекающую от него кровь.

Согласно полученным данным, развитие заболевания сопровождается одновременным чувствительным понижением уровня Ц в крови обенх систем и падением степени поглощения его мозговой тканью. Песмотря на это обнаруживается параллельное, почти трехкратное увеличение уровия М в крови. Исходя из отмеченного факта заметного лимитирования ресурсов Ц в головном мозге, выход некоторого количества М вызывает несомненный интерес в отношении объяснения возможных механизмов, обусловливающих этот эффект В связи с отмеченным пеобходимо учитывать укоренившееся мнение относительно отсутствия в моэге ферментных систем (*19), катализирующих реакцию образования Ц. Предполагается экзогенное поступление Ц в мозг, где при активном участии аргининсукцинатенитетазы, аргининсукциназы и аргиназы он превращается в М. Несмотря на отмеченное выше торможение процесса транспорта Ц из крови в головной мозг при днабете, уровень М здесь пеуклонно растет (20) и это сопровождается одновременным интенсивным выделением М в периферический кровоток. В настоящее время считается признанным комплексование М, поступающей в мозг

извне, с белками. По всей вероятности, роль образующихся комплексов в функциональной активности моэговой ткани весьма значительна, особенно в условиях патологии. Наконец, не исключено также существование в головном моэге других путей биосинтеза М, слабо выраженных в нормально функционирующем организме и активирующихся с развитием патологического процесса в результате сложнейших компенсаторно-приспособительных пертурбаций. Высокий уровень М в моэге при диабете на фоне понижения уровия Ц в крови до минимального говорит также в пользу возможного существования здесь самостоятельно действующей системы мочевинообразования. Необходимость в поддержании содержания М в моэговой ткани на высоком уровие, проявляющаяся при диабете, настраивает на более обстоятельное изучение стабилизирующей роли этого соединения, в частности дегидратирующих свойств его при патологических состояниях, характеризующихся развитием отеков моэга.

Институт бнохимии Академии наук Армянской ССР

Հայկական IIIIՀ ԳԱ ակաղեժիկոս Հ. Խ. ԲՈՒՆՑԱԲՑԱՆ, Կ. Գ. ՂԱՐԱԳՅՈԶՅԱՆ, Վ. Բ. ԵՂՑԱՆ, Հ. Մ. ԱՄԻՐԽԱՆՅԱՆ, Գ. Ա. ԲՈՒՐՇՑԱՆ, Ղ. Բ. ԱՄԻՐԽԱՆՑԱՆ, Գ, Ն. ՀԱԿՈՐՑԱՆ

Ֆոսֆոլիպիդային, ածխաբոտտ-ազոտային փոխանակության մի քանի կողմե<mark>շի</mark> տեղաչարժերը չան գլխուիւեղում այոքսանային դիաբետի մամանակ

լիպիդները և ամինաթթուները։ որի հնտևանքով առաջանում է էներգիայի հարդիները և ամինաթթուները, որի հնտևանքով առաջանում է էներգիայի

ЛИТЕРАТУРА— ЭГЦЧЦЪПЪРЗПЪЪ

1 L. G. About and A. Gelger, Am. J. Physiol., 182, 557 (1955). 2 A. Gelger, Physiol. Rev., 38, 17 (1958). 3 H. G. Knauff and F. J. Bock, J. Neurochemistry, 6, 171, (1961) 4 Г. Х. Бунятин. М. А. Давтян, Вопросы биохимии мозга, изд. АН Арм ССР, т. 1, 97 (1964). ⁵ Г. Х. Бунятян, М. А. Давтян, Вопросы биохимии мозга, нзл. AH Apm ССР, т. 1, 105, 1964. A. A. Кедров, А. И Науменко, З. Я. Дегтнрева, Бюлл. эксперим. биол. и мед., т. 9, 10, 1964. ¹ В Б Егян, "Известия АН Арм. ССР" (биол. науки), т. 13, 43 (1960). * M. H. Мамиконян, Пробл. энлокрицол. и гормонотер., 10. 111, i 964 ° G. V. Marinetti and E. Stotz, Blochim. Biophys Acta, 21, 168 (1956) 10 A. A. Смирнов, E. В. Чирковская, К. Г. Манукян, 26, 6, 1027 (1961). 13 К. Г. Карагезян, Лабор. дело. 1, 3, 1969. 13 У. С. Тарве, Третья Всесоюзн. конф. по биохимии нервной системы (сб. докладов), 27, 1964. 13 О. Hiromichi, F. Setsuro and K. Yuzo. The Tokuchima J. Exptl. Med., 12, 11, 1965. 14 E. M. Крепс, в кн. Биохимия и функция нервной системы, Л., 134, 1967. 15 E. M. Крепсе фосфолипиды клеточных мембран нервной системы в развитии животного мира, "Баховские чтения XXП°, Л., 1967. 16 К. Г Каригезян, "Биологический журнал Арменин , АН Арм. ССР, 21, 4, 28 (1968). 17 К. Г. Карагезин, Докторская диссертация, Ереван, 1968. ¹⁸ Г. Х. Бунитин, Вопросы бнохимин, изд. АН Арм. ССР, 1, 5 (1960). 19 H. Ch. Buntatian and M. A. Davtian, J. Neurochemistry, 13, 743, 1966. 20 B. S. Егян, Г. Е. Акопян, Вопросы бнохимин мозга, изд. АН Арм. ССР, 3, 329 (1967).

LIX 1974

УДК 591 1.05

виохимия

Ж. С. Геворкян, А. С. Оганесян

К вопросу регуляции процессов деаминирования аминокислот в почечной ткани

(Представлено академиком АН Армянской ССР Г. X. Бунятяном 12/VI 1974)

Наши прежине исследования (1.-) показали, что сыворотка крови человека, белых крыс и кроликов, в определенной мере подавляет деаминирование аминокислот (глютаминовая, аспарагиновая, орнитин н др.) в почечной ткани. Это явление наблюдалось в опытах, проведенных как in vitro так и in vivo. В литературе имеется ряд сообщений о гом, что аминокислоты, введенные как внутрибрюшинно, так и внутривенно слегка усиливают выделение аммиака с мочой, или же вообще не оказывают влияния на этот процесс. По-видимому, в сыворотке крови содержатся вещества, которые оказывают регулирующее влияние на обмен аминокислот в почках. Дальнейшие исследования показали, что ингибирующий фактор представляет собой термостабильное вещество и не подвергается днализу (против 0,25 М сахарозы). Для получения и очистки этого активного вещества белки сыворотки крови белых крыс денатурировали на кипячей водяной бане в течении 15 минут, после центрифугирования активное вещество обнаруживалось в надосадочной жидкости. В результате этой процедуры белки сыворотки крови почти полностью осаждались и только небольшое количество растворимых белков оставалось в надосадочной жидкости, которую пропускали через колонку сефадекса g-100, а затем изучали влияние полученных опредсленных фракций на процессы деаминирования отдельных аминокислот. Результаты исследований показали, что одна и та же фракция оказывает неодинаковое влияние на продукцию аммиака из различных аминокислот, т. е. вещества, тормозящие деаминирование отдельных аминокислот, выделялись с различными фракциями. При этом наиболее чувствительным оказался процесс деаминирования глютаминовой кислоты По-видимому, процессы деаминирования различных аминокислот регулируются разными соединениями, которые выделяются белками. Возможно, что эти вещества представляют собой белки, но не исключено также, что они полипептиды и связаны с белковыми носителем.

Интересно отметить, что некоторые фракции оказывали стимулирующее действие на процессы деаминирования аминокислот. По-видимому, сыворотка крови содержит как ингибиторы, так и активаторы
процессов деаминирования аминокислот, протекающие преимущественно в корковом слое почек. Дальнейшие исследования будут проводиться
по направлению выделения этих веществ, выяснения их природы, физико-химических свойств и механизма действия на процессы деаминирования аминокислот в тканях.

Надо полагать, что іп vivo эти вещества играют нажную роль в процессах регуляции обмена аминокислот. По-видимому, в зависимости от физиологического состояния организма, активность этих веществ в крови изменяется соответствующим образом для адаптирования его к новым условиям. Результаты предварительных опытов показали, что упомянутые регуляторы процессов деаминирования синтезируются в печени и кровью доставляются в соответствующие органы, где и оказывают свои специфические действия.

Институт биохимии Академии наук Армянской ССР

Ժ. Ս. ԳԵՎՈՐԳՅԱՆ, Ա. Ս. ՀՈՎՀԱՆՆԻՍՑԱՆ

նորկամային ճյուսվածքում ամինաբթուների դեամինացման պրոցեսների կանոնավորման ճարցի ջուրջը

Փորձերը ցույց են տվել, որ մարդու, ճադարների և սպիտակ առնետների արյան շիձուկները պարունակում են որոշակի նյութեր, որոնք կարդավորող աղդեցություն են թողնում երիկամների կեղևում ամինաβթուների դեամինացանան պրոցեսների վրա։ Այդ երևույթի էությունը կայանում է նրանում, որ արյան շիճուկի որոշ ֆրակցիաներ ճնշում են, իսկ ուրիշները՝ ընդհակառակը, ակտիվացնում՝ ամինաթթուների (գլյուտամինաթթու, ասպարադինաթթում օրնիտին և այլն) դեամինացումը երիկամի կեղևային շերտի կարվածըներում։

Ցույց է տրվել նաև, որ տարբեր ամինաβթուների դեամինացումը կարդավորվում է արյան չիճուկի տարբեր ֆրակցիաներով։ Մի շարք շեղինակների կողմից կատարված փորձերը, այդ թվում նաև մեր հետաղոտությունների արդյունքները, ցույց են տվել, որ կրերս-հինգեր-բիկարբոնատային
բուֆերի միջավայրում, վերը նշված ամինաβթուները, երիկամների կեղնի
կտրվածքներում ենթարկվում են ինտենսիվ դեամինացման, որի հետևանքով
առաջանում է զգալի քանակությամբ ազատ ամիակ։ Այդ նրևույթը itt vivo
պայմաններում չի նկատվում, որը հավանորեն կապված է արյան շիճուկում
դտնվող վերուիշյալ ֆակտորների առկայության չետւ

ЛИТЕРАТУРА— ГРИЧИТЛЬРАЯВЬТ

1Л. С. Оганесян, Ж. С. Геворкян, ЦАН Арм. ССР, т. 56, № 2 (1973). ² 1, С. Оганесян, Ж. С. Геворкян, ДАН Арм. ССР, т. 57, № 5 (1973).

1974

LIX

2

УДК 631.46+577 15

АГРОХИМИЯ

С. А. Абрамян, А. Ш. Галстян

О применении буферных растворов в биохимических исследованиях почв

[Представлено академиком АН Армянской ССР Г. С. Давтяном 13/IV 1974]

Буферные растворы имеют широкое применение в биохимических исследованиях почв. Однако до сих пор особенности их взаимодействия с почвами слабо изучены (1). Настоящая работа посвящена выяснению некоторых вопросов взаимодействия буферных растворов неорганических и органических соединений с различными типами почв.

Ісследования проводились на следующих типах почв: а) краснозем, глипистый, гумус—4%, рН водной суспензин—3,9, степень насыщенности—40% (Анасеули, Груз. ССР); б) дерново-подзолистая, легкосуглинистая, гумус—1,7, рН 4,5, степень насыщенности—67 (Московская обл.), в) горно-луговая дерновая, среднесуглинистая, гумус—14,3,
рН 4,9, степень насыщенности—68 (Базумский хребет, Арм. ССР);
г) чернозем выщелоченный, среднесуглинистый, гумус—5,6, рН 6,4,
степень насыщенности—99 (Севанский район, Арм. ССР); д) каштановая карбопатная, среднесуглинистая, гумус—3,4, рН 8,0, степень насыщенности—100 (Абовянский район, Арм. ССР).

В опытах были использованы буферные растворы (2 4) с неоргапическими и органическими компонентами: фосфатный — pH 4,94—9,18, цитратный — pH 3,2—8,0, ацетатный — pH 3,2—6,2, боратный — pH 7,71— 9,31, аммонийный — pH 3,3—11,0, трис — буфер (гидроксиметил-аминометан) — pH 7,2—9,2 и этаноламин-уксуснокислый — pH 3,27—10,20

Для выяснения вопросов взаимодействия буферных растворов с почвами опыты проводились в двух сериях: в первой—в 50 миллилитровых стаканах к 5 г почвы прибавлялось по 10 мл буферного раствора с определенным значением рН с помощью рН-метра устанавливались их сдвиги, во второй—при тех же значениях рН определялась активность ферментов почв (1).

При биохимических исследованиях почв с помощью буферных растворов устанавливаются оптимальные рН действия ферментов, при которых они находятся в изоэлектрическом состоянии и проявляют наибольшую активность С изменением рН среды в кислую или щелочную

сторону от оптимальной активность ферментов снижается и может полностью исчезнуть (рис. I). Если при установлении оптимумов рН дейстния ферментов не учитываются особенности взаимодействия буферного раствора с почвой, т. е. сдвиги рН буферной суспензии, то в щелочном интервале активность фермента выражается прямой и не отражает истинной картины ее зависимости от рН среды.

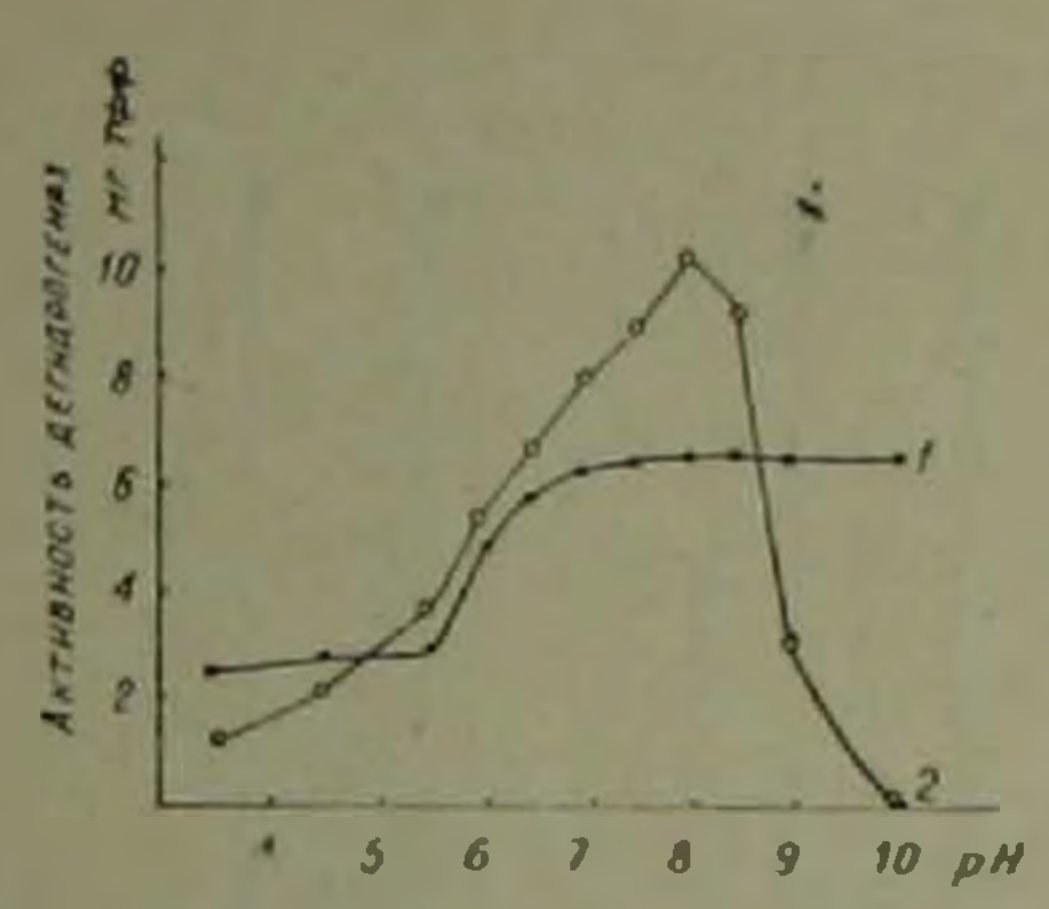


Рис. 1. Зависимость активности дегидрогеназ горно-луговой дерновой почвы от рН прибавленного буфера, 1—без учета сдвигов рН; 2—с учетом

Исследования показали, что прибавленные к почвам буферные растворы не сохраняют первоначальные значения рН и дают определенные сдвиги. Изменение рН буферных растворов в основном зависит от физико-химических свойств почвы: ее кислотности и степени насыщенности, а также природы самого буфера (рис. 2). Было установлено, что значительные сдвиги рН до 3—4 единиц наблюдаются в щелочном интервале при взаимодействии неорганических буферных растворов с пенасыщенными почвами. Это происходит в результате нейтрализации активной кислотности среды и обменных реакций между катнонами буферного раствора (натрий, аммоний) и почвенных коллондов, в частности с водородом и алюминием. При взаимодействии буферных растворов с насыщенными почвами наблюдаются незизчительные сдвиги рН, причем в кислом интервале.

Опытами установлено, что органические буферные растворы по сравнению с неорганическими при взаимодействии с почвами дают меньшие сдвиги pH, что обусловлено свойством основных компонентов буферных систем—аминов и азотистых основании, не вступающих в обменные реакции с поглощенными катнонами почвы. Органические буферные растворы меньше нигибируют активность ферментов почв, чем неорганические. В этом отношении, применяемый в практике трис-буфер из-за узкого диапазона pH 7,2—9,2 имеет ограниченное использование

в почвенных исследованиях.

Учитывая эти факты, пами предложен новый буферный раствор (табл. I) с органическими компонентами этаноламин уксусная кислота

(НО—СН₂—СН₂—NH₂ 0,2М+СН₃ СООН 0,1п), который имеет широкий диапазоп рН 3,27—10,20. Чистый этаноламин обладает сильным щелочным свойством рН 12,5 и хорошо растворим в воде. Его рабочий раствор 0,2М, используемый для приготовления шкалы при 20° имеет рН 11,3. Значение рН этаноламин-уксуснокислого буферного раствора

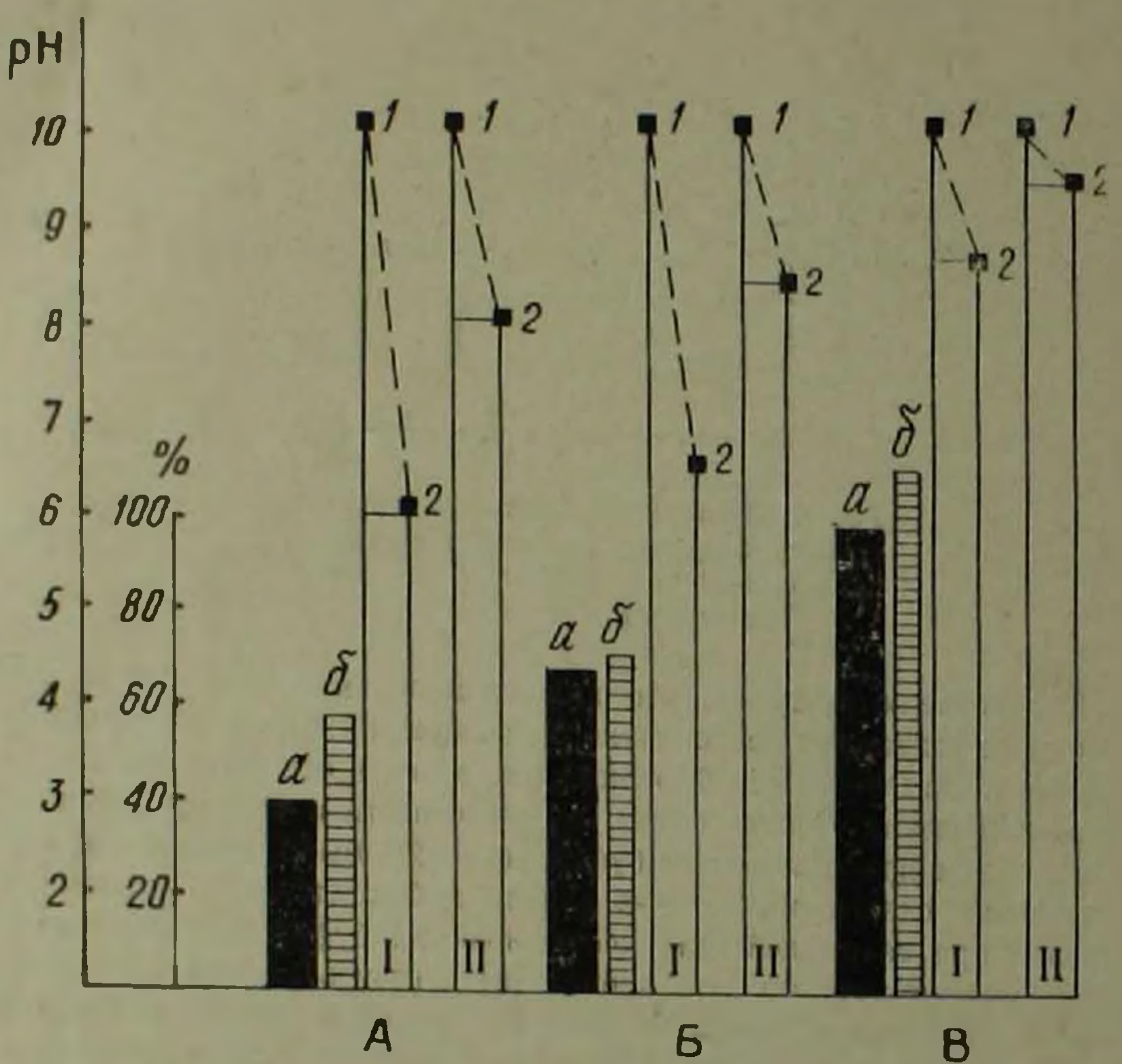


Рис 2 Паменене рН буферных растворов при взаимодействии с почвой A—краснозем; B—чернозем.

и-- степень насыщенности; б-рН водной суспензии.

Буферные растворы: I—аммоняйно-уксуснокислый; II—этаноламин-уксуснокислый /—pH прибавленного буфера; 2—pH буферной суспенани

было установлено рН-метром с помощью стандартов (3), для приготовления которых используются—калий фталевокислый кислый - СвН4О4НК рН 4,01 и натрий фосфорнокислый двузамещенный—Na2HPO4 рН 9,18 (ГОСТ 10171—62). Этаноламин-уксуснокислый буферный раствор характеризуется положительными свойствами. Определение значений его рН отличается высокой точностью и воспроизводимостью.

Итак, установлено, что в почвенных исследованнях применение органических буферных растворов имеет определенное преимущество

над неорганическими. Рекомендован новый буферный раствор—этанол-амин-уксусная кислота для применении в практике биохимических исследований почв.

Значение рН этаполамин-уксуснокислого буферного раствора (HO-CH₂-CH₂-NH₂ 0 2M+CH₃-COOH 0.1н., (1 20 1

pH	Этаноламин 0,2М, .и.і	Уксусная кнелота 0.1н., ил	H ₂ O, .ir,1°	Коэффициент вариации V. %	Ошибка спре- деления /: %
10.20	25	5	-0	0.6	0.2
9-81	25	13	70	0.6	0.3
9,54			60	0.1	0.2
	25	25	50	46	0.3
9,22	25	35	40	0.9	0.3
8.75	25	45	30	2.8	1-1
8.53	25	48	27	0.5	0.3
8+04	25	50	25	1.2	0.5
7.55	25	51	24	0.9	0.4
7.05	2 5	52	23	1.1	0.5
6.70	25	53	22	2,9	1.3
6,20	25	54	21	1.7	0.8
5.72	25	60	15	1.6	0.7
5.36	25	65	10	1.6	0.7
5.06	25	70	5	1.6	0.7
4.74	20	80	0		
4.50	15		5	1.6	0.7
		80		2.3	1.0
4.02	10	80	10	1.4	0.6
3.76	5 3	80	15	2.5	1.1
3.44	3	08	17	0.7	0.3
3.27		80	19	0.6	0.3

[•] Объем дистиллированной водой доводится до 100 мл

Институт почвоведения и агрохимии МСХ Армянской ССР

II U Uppuirsum, u. c. suinssum

Հողի կենսաքիմիական ուսումնասիբություններում բուֆեբային լուծույթների կիբառման մասին

ЛИТЕРАТУРА — ЭРИЧИБИЕН ВИБЪ

1 4 III Гальтин Ферментативная активность почв Армении, Изд. «Анастан», Еренан, 1974, В. Ю. Ю. Лурье, Справочник по аналитической химин, Изд. «Химия», М., 1971. Р. Бейтс, Определение рН теория и практика, Изд. «Химия», Л., 1972. Е. В. Аринушкина, Руководство по химическому анализу почв, Изд. МГУ, 1961. М. Диксон и Э. Узбб, Ферменты, Изд. «Мир.», М., 1966.

LIX 1974

УДК 551.57.04+63141.: 631.811+Б77.11

АГРОХИМИЯ

Академик АН Армянской ССР Г. С. Давтян, Т. Т. Варданян

Изменение общей минерализации атмосферных осадков по природным зонам Армянской ССР

(Представлено 11/VI 1974)

В течение десяти лет мы изучали минерализацию осадков на территории Армянской ССР, по природно-ландшафтным поясам (1). Пробы для анализа собирали в основном суммарные (за месяц) в специально выбранных 25 пунктах. Большая часть их расположена по двум геоморфологическим профилям, охватывающим все вертикальные пояса республики с высотными отметками от 630 до 3230 м над у. м.

Первый профиль—Араратская равнина—Севанский перевал—Днлижан. Второй профиль—Араратская равнина—Амберд (на среднем склоне г. Арагац)—южная вершина Арагаца (3230 м)—Ленинакан. Кроме указанных станций в план исследования были включены также промежуточные и дополнительные пункты. Число пунктов наблюдения в каждом поясе от 2-х до 4-х.

После определения концентрации отдельных компонентов минерального состава осадков показатели минерализации получены расчетным путем. Содержание растворенных веществ определяли методами, принятыми в агрохимии и гидрохимии (2—1). На основании ежемесячных данных были рассчитаны средние показатели минерализации за периол исследования. Подобные расчеты производили для осадков всех пунктов и зон по отдельности.

Обобщенные данные о минерализации осадков приведены в табл 1. В эту таблицу не включены станции, расположенные в промышленных городах, где антропогенно нарушена общая закономерность изменения химического состава осадков.

Результаты наших исследований показали, что, за исключением некоторых пунктов вблизи источников промышленного загрязнения, наблюдается закономерное изменение среднегодового показателя минерализации осадков по вертикальным природно-ландшафтным поясам Армянской ССР. Наибольшее содержание растворенных веществ в осадках обнаружено в пустынной зоне (127 жг/л), а наименьшее в Альпийской (50 мг/л).

^{*} Анализы выполнены Л. П. Мхояк.

Осадки горностепной и горнолесной зон по степени минерализации занимают среднее положение (табл. 1).

Таблица 1 Наменение минерализации атмосферных осадков по зонам Армянской ССР (средине данные за 1963-1970 гг.)

M	Природно-ландшафтные зоны	Пункты	Сумма нонов. .м. л
1 2 3 4 5 6	Пустынная Подупустынная Сухая горностепная Горностепная Горнолесная Альпийская	Арташат Ереван — агрометстанция Мегри, Кафан Разлан Дилижан Амберя, Семеновка, г. Арагац	127.0 92.3 60.9 60.0 59.2 50.8

[•] Данные за 1963-1967 гг.

По литературным данным () на территории Советского Союза наибольшее содержание растворенных веществ обнаружено в осадках среднеазнатских пустынь. Наименее минерализованы осадки тундры, тайги и севера Европейской части территории СССР. Следовательно, по данным авторов, изменение общей суммы ионов в осадках носит географический характер и не связано с высотой местности их сбора

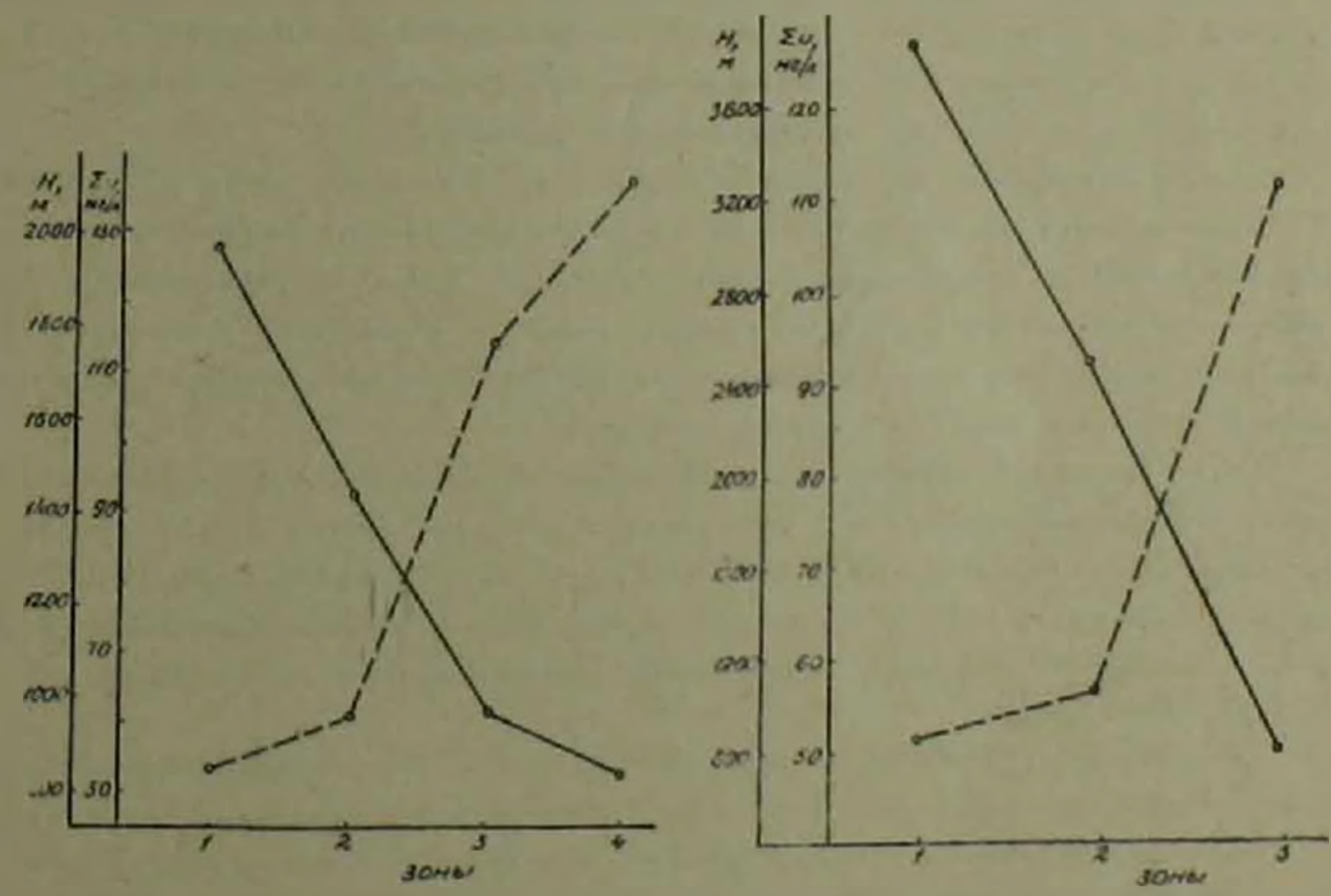


Рис. 1. Изменение минерализации атмо- Рис. 2. Пъменение минерализации атмо----высота и. у. м., --- сумма нонов -----высота и. у м., ---- сумма нонов. Зоны: 1-пустынняя; 2 полупустынняя: Зоны: 1-пустынняя; 2-полупустынная; 3-гориостепная; 4-альпийская

еферных осадков по 1 профильт сферных осадков по 11 профилю 3-апыниская

Однако наши исследования показывают, что кроме географической зональности в пределах выбранных профилей явно наблюдается также вертикальная зональность, а именно обратная связь между минерализацией осадков и высотой местности. На рис. 1 и 2 показаны изменения общего содержания растворенных веществ в осадках от равнины к наивысшим участкам профилей.

Эти рисунки показывают, что как по первому, так и по второму профилю с высотой местности общая сумма нопов в осадках уменьшается. Наименее минерализованы осадки, собранные на высоте 2100—3230 м пад ур. м. (Семеновка, г. Арагац). Аналогичная картина установлена пашими прежними работами по изучению электропроводности атмосферных осадков на территории Армянской ССР (7).

Институт агрохимических проблем и гидропоники Академии наук Армянской ССР

Հայկական ՍՍՀ ԳԱ ակադեմիկոս Գ. Ս. ԳԱՎԹՅԱՆ, Թ. Թ. ՎԱՐԴԱՆՅԱՆ

Մթնոլուտային տեղումների ընդհանուր հանքայնացման փոփոխություներն ըստ Հայկական ՍՍՀ բնական գոտիների

քայնացումն ըստ թնական լանդշաֆտային դոտիների։

Մինոլորտային տեղումները որոշակի դեր են կատարում նյուների հան
Մինոլորտային տեղումները որոշակի դեր են կատարում նյուների հան-

Հետազոտությունների համար ընտրվել է 25 հենակետ, որոնք ընդզրկում են հանրապետության բոլոր բնական ուղղաձիգ դոտիները, ծովի մակերևույ- թից 630—3200 մ. բարձրության վրա։ Ընտրված հենակետերից բերվել են մինոլորտային տեղումների գումարային (ամսվա ընթացրում կուտակված) նմուշներ, որոնց յուրաքանչյուրի մեջ որոշվել են լուծված նյութերի պարու- նակությունը՝ ըստ իոնների և նրանց դումարը։

վում էր դիձիր ուրմեւ հարտարատային մատիրբերի արմասույն իրև Հարևավաւկ աւրրբերը մատրանային մատիրբերը չըմաւդրրեր դրձ կուցվաց ընսւկրեր աղբրադայ քարտակար քրարատարանայից բ արճաշրանումը փուփսիսան է ևուս երակար քարևակար քրարատարարարը ը հարտությունը արևեւ

Հաստատվել է Նաև, որ Հայկական ՍՍՀ-ում մինոլորտային տեղումների տերայնացումը փոփոխվում է ոչ միայն ըստ աշխարհագրական, այլև ըստ ուղղաձից դոտիների։ Գեոմորֆոլոգիական պրոֆիլների սահմաններում դիտ-վում է հակադարձ կապ մինոլորտային տեղումների հանքայնացման և տեղանքի բարձրության միջև։ Հարթավայրից դեպի պրոֆիլի բարձրադույն տեղամասը (Սիմյոնովկա և Արադած լ.) մինոլորտային տեղումների մեջ նվա դում է իոնների ընդհանուր դումարը։

ЛИТЕРАТУРА — ЧРИЧИЪПЬРВИБЪ

2 шуциций 002 фрарций игрипремарнеруний 2002 ФК бригоприй пругий, пришь, пришь, 1911. 2 О. А. Алекин. Химический анализ вод суши, Гидрометеонздат, Л., 1954. 1 А. Редников, Е. П. Муликовская, И. Ю. Соколов, Методы анализа природных вод, М., 1963. 4 Агрохимические методы исследования почи, М., Изд. АН СССР, 1960. Е. С. Селезнева. О некоторых химических характеристиках климата почи. В книге «Климат почи». Гидрометеонидат, Л., 1971. В. М. Дроздова, О. П. Петренчук, Е. С. Селезнева, П. Ф. Соистов, Химический состав атмосферкых осядков на Европейской территории СССР. Гидрометеонздат, Л., 1964. 7 Т. Т. Варданян, ДАН Армянской ССР, т. 47. № 4 (1968).

LIX 1974

YAK 595.792

ЭНТОМОЛОГИЯ

Д. Р. Каспарян

Новый вид наездников рода Scambus Hartig (Hymenoptera, Ichneumonidae) из Армении

(Представлено чл.-корр. АН Армянской ССР Э. А. Давтяном 11/IV 1974)

Описываемый ниже новый вид наездников-ихневмонид Scambus gallicerator sp. n. выведен Г. А. Арутюняном из галлов на жимолости (Lonicera sp.). По определению В. М. Ермоленко, галлы, вероятнее всего, принадлежат пилилыцику Hoplocampoides xylostei Giraud (Hymenoptera, Tenthredinidae).

От всех других видов рода Scambus новый вид отличается почти полным исчезновением препектального валика; очень своеобразентакже относительно короткий яйцеклад (рис. 1. 1), косо зазубренный на вершине (рис. 1, 2). Тем не менее, именно последний признак

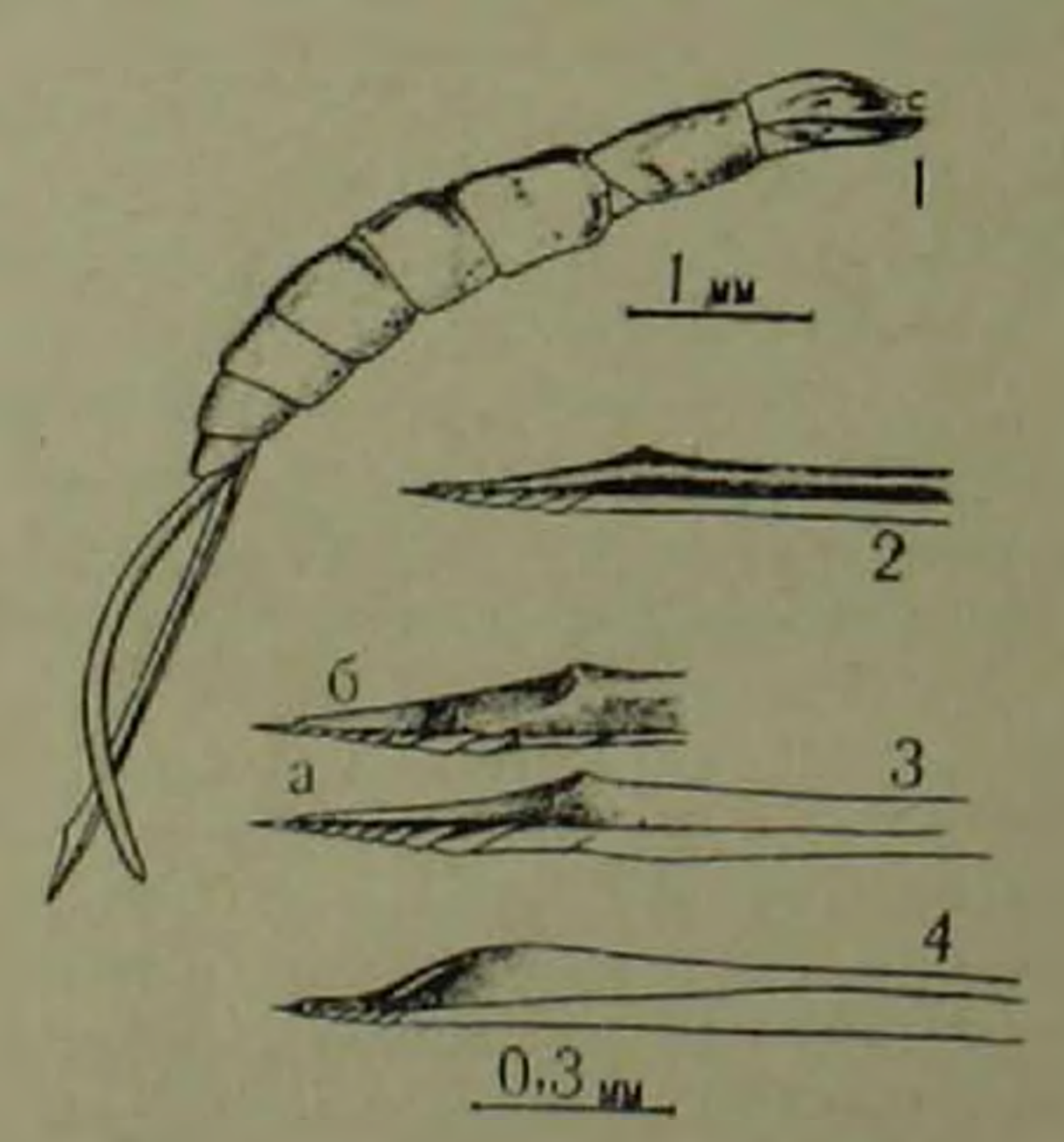


Рис. 1. /-брюшко самки Scambus gallicerator, sp n. 2-4—вершины яйцекладов наездников рода Scambus: 2—S. gallicerator, sp. n., 3—S. vesicarius Ratz. (а—сбоку, 6 сверху), 4—S. foliae Cushm.

(косан зазубренность яйцеклада) а также глубокая мембранозная выемка в основании последнего стернита самки и некоторые другие менее значительные признаки позволяют рассматривать. Scambus galliceri for sp. п. не более, как обособленный вид подрода Scambus s. str.

Интересно отметить, что наиболее существенные преобразования яйцеклада в подроде Scambus (рис. 1, 3, 4) свойственны видам, связанным с пилильщиками—S. vesicarius katz. (паразит преимущественно галлообразующих пилильщиков на Salix) и S. foliae Cushm. (паразит минирующих пилильщиков рода Heterarthrus). Новый вид S. gallicerator sp. п. тоже характеризуется модификацией вершины яйцеклада (рис. 1, 2), и также как и предыдущие виды он выведен из пилильщика (Hoplocampoides xylostei Giraud), образующего галлы.

За пре составленный материал автор благодарен Г. А. Арутюняну (Ботанический институт АН Арм. ССР, Ереван). Автор признателен также Г. Таунсу (Апп Arbor, USA) за обсуждение систематического положения нового вида.

Тип хранится в Зоологическом институте АН СССР в Ленинграде.

Scambus gallicerator Kasparyan, sp. n.

Самка. Переднее крыло 5,5-6,5 мм; в жгутике усика 20-22 членика. Голова округло сужена кзади; днаметр латерального глазка равен 0,66-0,8 расстояния от глазка до глаза; отношение максимальной и минимальной длины виска к поперечному диаметру глаза равно соответственно 0,7 и 0.5; длина щеки равна 0,22-0,33 базальной ширины мандибул. В отличие от известных видов рода, среднегрудь без препектального валика; проподеум более или менее разномерно выпуклын (у одного экземпляра с хр. Арегуни очень короткий и сильно выпуклый), посредине с продольным неглубоким вдавлением, ограниченным нногда в базальных 0,25 слабыми валиками. Длина заднего бедра в 3,8-4,2 раза больше ширины; соотношение члеников задней лапки в среднем 5:2,2:1,7:0,7:1,7 (5-й членик короче 2-го почти в 1,3 раза). 1-й тергит брюшка слабо приподнят, его длина приблизительно в 1,1 раза больше ширины у вершины; стерниты брюшка с парон более или менее одинаковых крупных склеротизованных участков; последний стернит полностью склеротизован, в основании с глубокой мембранозной выемкой; яйцеклад короче, чем у других палеарктических видов подрода, длина его ножен равна 0,52-0,6 длины брюшка (рис. 1,1); верхняя створка яйцеклада перед вершиной с отчетливым бугорком, нижние створки косо зазубрены (рис. 1,2).

Виски за серединой с тонкой, относительно редкой, но отчетливой пунктировкой; мезоплевры в передних 2/3 тонко, но более или менее равномерно пунктированы; латеральные и базальные поля проподеума с очень тонкой поверхностной морщинистостью, 1-й тергит снаружи от дорсальных килей с неправильной морщинистостью, его центральная часть у задиего края морщинисто-пунктированная; 2—4-й тергиты умеренно грубо, по плотно пунктированы, с узкой непунктированной поло-

сой по заднему краю; пунктировка за серединой 4-го тергита более поверхностная, точки с неясными краями, менее отчетливые на каждом последующем сегменте.

Тело черное. Усики и лабиальные щуники темпо-бурые; первые три—четыре членика жгутика усиков снизу и максиллярные щуники желтоватые. Задний угол пронотума, тегулы, передние и средние ноги красновато-желтые; основания передних тазиков иногда бурые; задние ноги красные; задние голени беловатые снаружи, красновато-бурые с внутренней стороны, перед основанием снаружи с неясным буроватым пятном и бурые на вершине; задние лапки бурые, базальная половина их 1-го членика белая.

Самец неизвестен.

Материал. Армения, из галлов Hoplocampoides xylostel Giraud на Lonicera sp. (Г. Арутюнян): Анкаван, Разданский район, 3—24/V 1971, 5 Q (в том числе голотин—24/V); Севан, хр. Арегуни, 17 и 22/V 1971, 2 Q

Зоологический институт Академии наук СССР

THE WILLIAM PRINCIPLY

Հևծյալների Scambus Hartig սևոի (Hymenoptera, Ichneumonidae) նոր անուտկ Հայաստանից

հերկա արասան կարագրան և Scambus սեռի նոր տեսակ S. gallicerator Kasparyan, sp. n., որը Hoplocampoides xylostel Gir. (Hymenoptera, Tenthredinidae) պարագիան ևն S. gallicerator, sp. n. նոր տեսակի արև Մեջ Scambus սեռի այլ տեսակներից, որոնք նույնակես արասարիաներ են։

